

บทที่ 6

ผลการทดลองและวิจารณ์

6.1 บทนำ

โดยทั่วไปสมรรถนะทางความร้อนจะสัมพันธ์กับการสูญเสียความดันเนื่องจากความเสียดทาน การปรับปรุงสมรรถนะทางความร้อนมักจะได้มาพร้อมกับการสูญเสียความดันที่เพิ่มมากขึ้น สำหรับของไหลที่ความหนาแน่นต่ำ (ก๊าซ) การปรับปรุงอัตราการถ่ายเทความร้อนมักจะนำไปสู่ความสิ้นเปลืองกำลังทางกลในรูปของพลังงานขับเคลื่อนคอมเพรสเซอร์หรือพัดลม เพราะฉะนั้นการออกแบบและการเลือกใช้อุปกรณ์แลกเปลี่ยนความร้อนจึงจะต้องมีการพิจารณาอย่างถี่ถ้วนทั้งในอัตราการถ่ายเทความร้อนและกำลังทางกลที่ใช้ในการขับเคลื่อนของไหล

จากการทดลองในบทที่ 5 โดยผลการทดลองมุ่งเน้นที่จะศึกษาประสิทธิภาพการถ่ายเทความร้อน และสัมประสิทธิ์แรงเสียดของช่องขนาน ที่มีการพลักซ์ความร้อนแบบคงที่ (Constant heat flux) โดยการศึกษาจะพิจารณาถึงอิทธิพลของแผ่นครีบบนรูปแบบต่างๆ มีสัดส่วนความสูงครีบบต่อระยะห่างช่องขนาน (e/D) ที่ทำการศึกษาเท่ากับ 0.20 , 0.25 และ 0.33 และการจัดวางครีบบแบบแนวร่องตรงและเอียง โดยทำการศึกษาทั้งในช่วงการไหลแบบราบเรียบ (Laminar flow) ถึงลักษณะการไหลแบบปั่นป่วน (Turbulent flow) หรือในช่วงตัวเลขเรย์โนลด์ 300 ถึง 20,000

6.2 ผลการทดลองช่องขนานแผ่นเรียบ

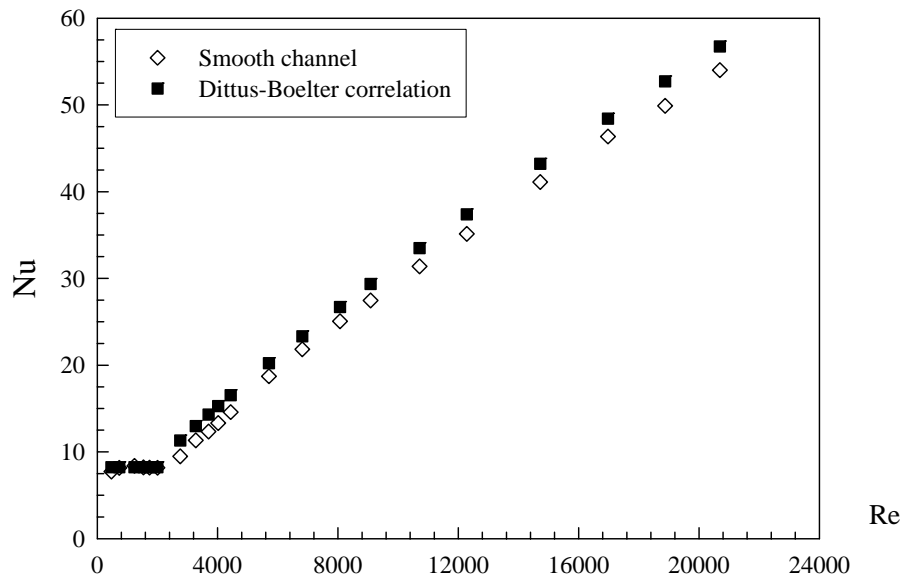
6.2.1 ค่าตัวเลขนัสเซลท์ (Nusselt number, Nu)

จากการทดลองค่าตัวเลขนัสเซลท์ของช่องขนานแผ่นเรียบพบว่าในช่วงการไหลแบบราบเรียบ (Laminar flow) ค่าตัวเลขนัสเซลท์จะมีค่าค่อนข้างคงที่ที่ค่าหนึ่งๆ จนกระทั่งเมื่อลักษณะการไหลเปลี่ยนเป็นแบบปั่นป่วนหรือค่า Re มีค่ามากกว่า 2,300 พบว่าค่าตัวเลข Nu จะมีค่าเพิ่มขึ้นตามค่าตัวเลข Re ที่เพิ่มขึ้นโดยอัตราการเพิ่มขึ้นจะมีแนวโน้มลดลงเมื่อค่า Re เพิ่มมากขึ้น เมื่อเปรียบเทียบค่าที่ได้จากการทดลองกับค่าที่ได้ทางทฤษฎี พบว่าค่าที่ได้ในช่วงการไหลแบบราบเรียบหรือในช่วงค่าเรย์โนลด์ต่ำกว่า 2,300 จะมีค่าค่อนข้างใกล้เคียงกับทางทฤษฎีโดยมีความคลาดเคลื่อนเฉลี่ยเท่ากับ -1.15% และในการการไหลแบบปั่นป่วน (Turbulent flow) จะมีค่าความคลาดเคลื่อนเมื่อเทียบกับสมการของ Dittus Boelter เฉลี่ยเท่ากับ -8.35 % ดังแสดงในรูปที่ 6.1

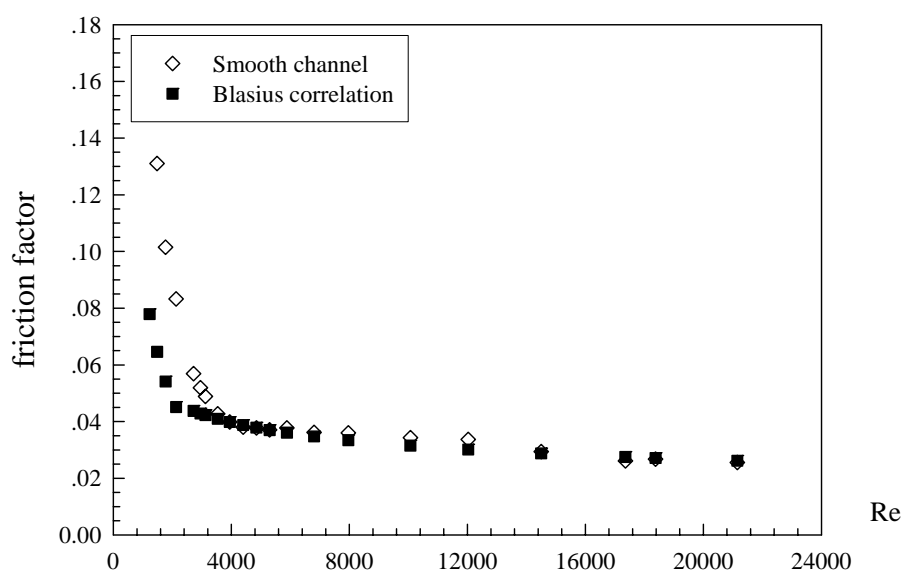
6.2.2 ค่าตัวประกอบเสียดทาน (Friction factor; f)

จากการทดลองพบว่าค่าตัวประกอบเสียดทานของช่องขนานผิวเรียบในช่วงการไหลแบบราบเรียบ (Laminar flow) จะมีค่าค่อนข้างสูงและมีค่าลดลงอย่างรวดเร็ว จนกระทั่งค่า Re มี

ค่าประมาณ 3,000 หลังจากนั้นค่าตัวประกอบเสียดทานจะมีค่าลดลงอย่างต่อเนื่องในอัตราที่ไม่มากนัก เมื่อเปรียบเทียบค่าตัวประกอบเสียดทานที่ได้จากการทดลองและค่าที่ได้จากทฤษฎีพบว่าจะมีค่าแตกต่างกันค่อนข้างมาก ในช่วงการไหลแบบราบเรียบค่าที่ได้จากการทดลองจะมีค่าสูงกว่าค่าทางทฤษฎีเฉลี่ยเท่ากับ 98.51% แต่เมื่อลักษณะการไหลเปลี่ยนเป็นแบบปั่นป่วน หรือค่า Re สูงกว่า 2,300 มีค่าความคลาดเคลื่อนเมื่อเทียบกับสมการของ Blasius เฉลี่ยเท่ากับ 5.84% ดังแสดงในรูปที่ 6.2



รูปที่ 6.1 เปรียบเทียบค่าตัวเลขนัสเซลท์ของขนานแผ่นเรียบจากการทดลองและค่าทางทฤษฎี

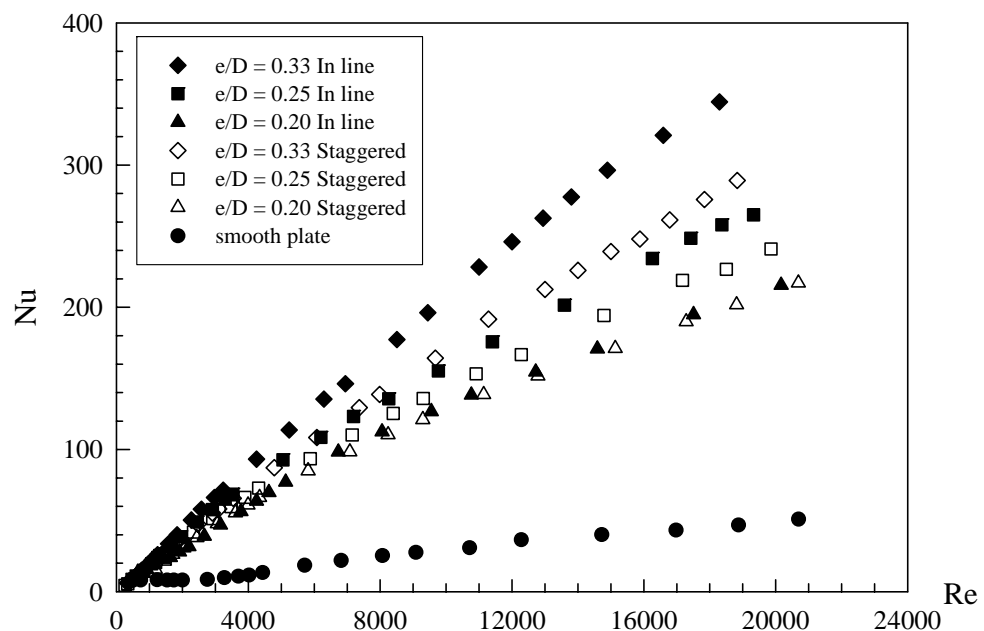


รูปที่ 6.2 เปรียบเทียบค่าตัวประกอบเสียดทานช่องขนานแผ่นเรียบจากการทดลองและค่าทางทฤษฎี

6.3 ช่องขนานที่มีครีบริบตรง (Straight ribbed plate)

6.3.1 ผลความสัมพันธ์ระหว่างค่าตัวเลขเรย์โนลด์และค่าตัวเลขนัสเซลท์ ของช่องขนานที่มีครีบริบตรง

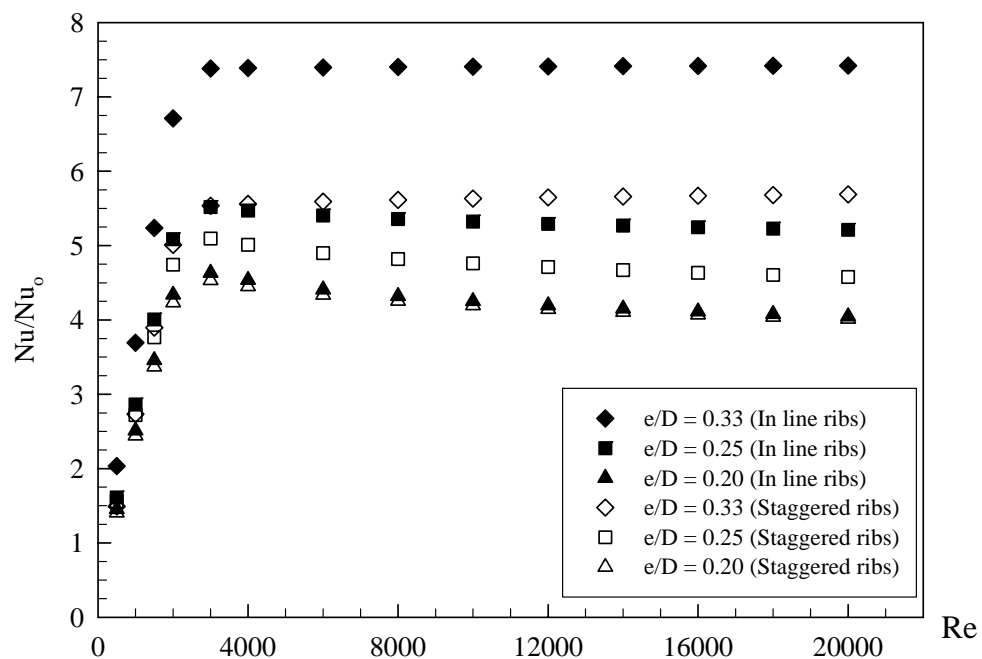
จากรูปที่ 6.3 แสดงความสัมพันธ์ระหว่างตัวเลขเรย์โนลด์และค่าตัวเลขนัสเซลท์ของช่องขนานที่มีครีบริบตรง สามารถสรุปผลการทดลองได้ว่าค่า Nu ของช่องขนานจะมีค่าเพิ่มมากขึ้นตามค่า Re ที่เพิ่มขึ้นหรือการไหลที่มีลักษณะปั่นป่วนมากยิ่งขึ้น โดยแผ่นครีบริบภายในช่องขนานสามารถช่วยเพิ่มความปั่นป่วนให้กับการไหลของอากาศที่ไหลผ่านซึ่งจะช่วยทำให้ค่า Nu มีค่าสูงขึ้น สำหรับรูปแบบการไหลของอากาศแบบราบเรียบ (Laminar flow) และค่า Re มีค่าต่ำกว่า 500 พบว่าค่า Nu ของช่องขนานชนิดผิวเรียบและช่องขนานมีครีบริบทุกประเภทจะมีค่าใกล้เคียงกัน ส่วนลักษณะการวางแนวครีบริบตรงและแนวครีบริบเอียงจะมีค่า Nu ใกล้เคียงกันเมื่อค่าตัวเลข Re ค่าต่ำกว่า 1,000 หลังจากนั้นค่า Nu ของการจัดวางแนวครีบริบทั้ง 2 ประเภท จะเริ่มมีค่าแตกต่างกันมากขึ้น โดยลักษณะการจัดวางครีบริบภายในช่องขนานแบบแนวครีบริบตรงจะมีค่า Nu สูงกว่าแผ่นแนวครีบริบเอียง โดยผลต่างของค่า Nu ของการจัดวางแบบแนวครีบริบตรงและแนวครีบริบเอียงจะมีค่าน้อยลง เมื่อสัดส่วน e/D มีค่าลดลง และค่า Nu จะมีค่าค่อนข้างใกล้เคียงกันมากยิ่งขึ้นเมื่อสัดส่วน e/D มีค่าเท่ากับ 0.20 สำหรับสัดส่วนความสูงครีบริบต่อระยะห่างช่องขนาน (e/D) จะมีผลต่อค่า Nu อย่างมากคือที่สัดส่วน e/D เท่ากับ 0.33 จะให้ค่า Nu สูงกว่าที่สัดส่วน e/D เท่ากับ 0.20



รูปที่ 6.3 แสดงความสัมพันธ์ระหว่างตัวเลขเรย์โนลด์และค่าตัวเลขนัสเซลท์ของช่องขนานที่มีครีบริบตรง

6.3.2 ผลความสัมพันธ์ระหว่างค่าตัวเลขเรย์โนลด์ และค่าตัวเลขนัสเซิลท์ของช่องทางที่มีครีบริงตรงต่อช่องทางแนวนเรียบ

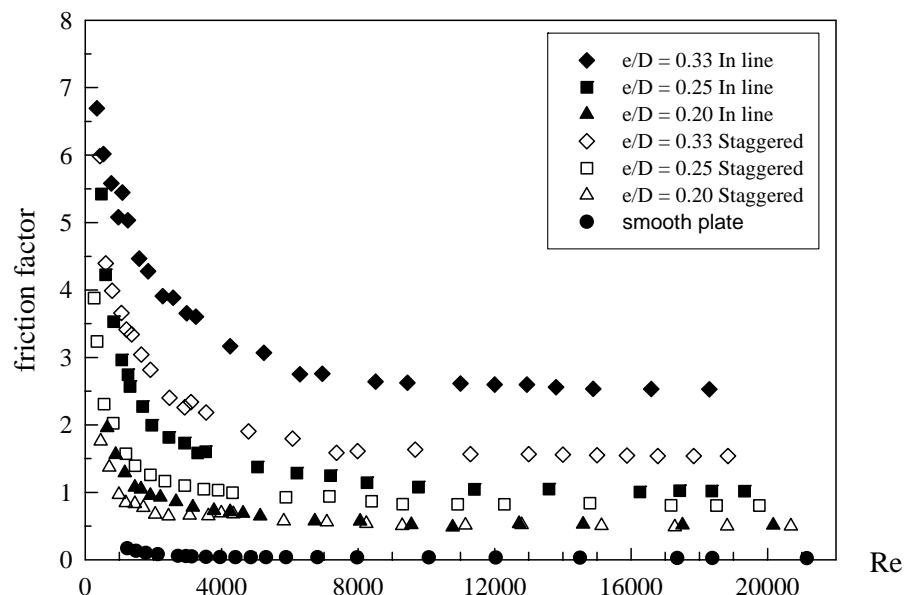
จากรูปที่ 6.4 แสดงความสัมพันธ์ระหว่างค่าตัวเลขเรย์โนลด์และค่าตัวเลขนัสเซิลท์ ของช่องทางที่มีครีบริงตรงต่อช่องทางแนวนเรียบ (Nu/Nu_0) สามารถสรุปผลได้คือ ในช่วงการไหลที่มีความปั่นป่วนไม่มากนักหรือในช่วงค่าตัวเลข Re ระหว่าง 300-3,000 อัตราส่วน Nu/Nu_0 ของช่องทางทุกชนิดจะมีค่าเพิ่มขึ้นอย่างรวดเร็ว โดยช่องทางทุกประเภทจะมีค่าสูงสุดที่ค่าตัวเลข Re เท่ากับ 3,000 หลังจากนั้นค่าอัตราส่วน Nu/Nu_0 ของช่องทางจะมีแนวโน้มลดลงเล็กน้อยเมื่อลักษณะการไหลมีความปั่นป่วนมากขึ้นหรือค่าตัวเลข Re มีค่าสูงขึ้น โดยช่องทางที่มีจัดวางแบบแนวครีบริงที่ สัดส่วน e/D เท่ากับ 0.33 จะให้อัตราส่วน Nu/Nu_0 สูงสุด เมื่อเทียบกับช่องทางที่มีครีบริงตรงประเภทอื่นๆ โดยจะมีค่า Nu/Nu_0 สูงที่สุดเท่ากับ 7.42 ที่ค่า Re เท่ากับ 12,000 และมีค่า Nu/Nu_0 เฉลี่ยสูงสุดเช่นเดียวกัน โดยมีค่าเฉลี่ยเท่ากับ 7.41 เท่า ในช่วงการไหลแบบปั่นป่วน ส่วนช่องทางที่วางแนวครีบริงและครีบริงเอียงที่สัดส่วน e/D เท่ากับ 0.20 จะให้ค่าอัตราส่วน Nu/Nu_0 ที่มีค่าค่อนข้างใกล้เคียงกัน และมีค่าต่ำที่สุดเมื่อเทียบกับช่องทางที่มีครีบริงตรงประเภทอื่นๆ โดยจะมีค่ามากกว่าช่องทางชนิดผิวเรียบ เฉลี่ยเท่ากับ 4.27 และ 4.21 เท่า ตามลำดับ



รูปที่ 6.4 แสดงความสัมพันธ์ระหว่างค่าตัวเลขเรย์โนลด์ และค่าตัวเลขนัสเซิลท์ของช่องทางที่มีครีบริงตรงต่อช่องทางแนวนเรียบ, Nu/Nu_0

6.3.3 ผลความสัมพันธ์ระหว่างตัวเลขเรย์โนลด์และค่าตัวประกอบเสียดทานของช่องขนานที่มีครีบริบตรง

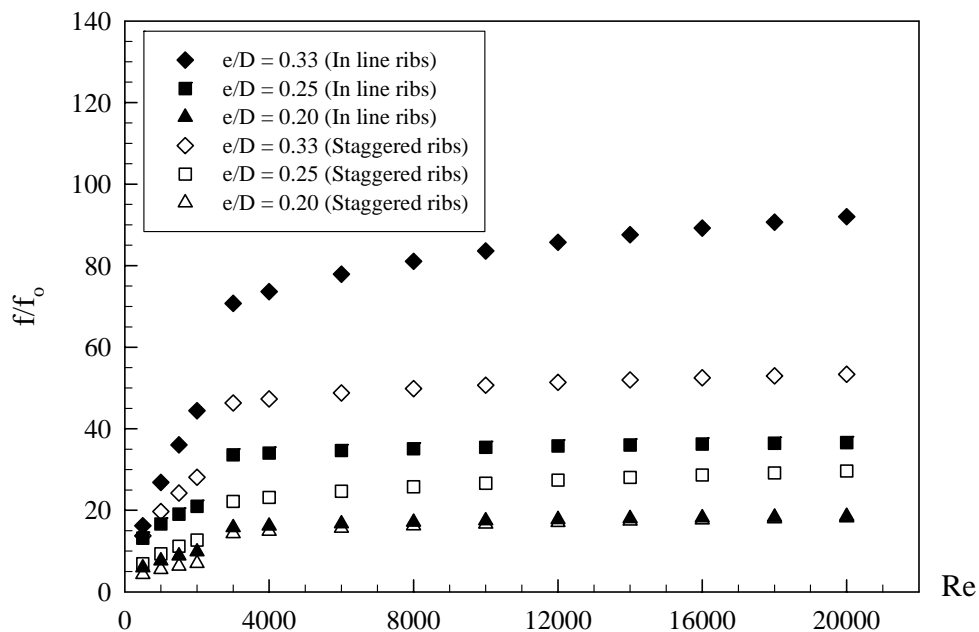
จากรูปที่ 6.5 แสดงความสัมพันธ์ระหว่างตัวเลขเรย์โนลด์และค่าตัวประกอบเสียดทานของแผ่นขนานที่มีครีบริบตรง สามารถสรุปผลการทดลองได้คือ แผ่นครีบริบภายในช่องขนานจะทำให้ค่าตัวประกอบเสียดทาน (f) ของช่องขนานมีค่าสูงขึ้น โดยที่ค่า f ของช่องขนานทุกประเภทที่ลักษณะการไหลแบบราบเรียบ (Laminar flow) จะมีค่าค่อนข้างสูงและมีค่าลดลงอย่างรวดเร็วเมื่อค่า Re มีค่าเพิ่มขึ้น แต่เมื่อค่า Re มีค่ามากกว่า 2,300 ค่า f ของช่องขนานทุกประเภทจะมีอัตราการลดลงเพียงเล็กน้อย จนมีแนวโน้มคงที่ที่ค่าหนึ่งๆ โดยที่สัดส่วน e/D เท่ากับ 0.33 จะให้ค่า f มากกว่าที่สัดส่วน e/D เท่ากับ 0.20 เมื่อพิจารณาที่สัดส่วน e/D เท่ากับ 0.33 ลักษณะการจัดวางแนวครีบริบภายในช่องขนานจะมีผลต่อค่า f คือการจัดวางแบบแนวครีบริบตรงจะให้ค่า f สูงกว่าการจัดวางแบบแนวครีบริบเฉียง แต่ผลต่างของค่า f ของลักษณะการจัดวางแนวครีบริบตรงและเฉียงจะมีค่าน้อยลง เมื่อสัดส่วน e/D มีค่าลดลง โดยค่า f ของการจัดวางแนวครีบริบทั้ง 2 ประเภทจะมีค่าใกล้เคียงกันมากยิ่งขึ้นเมื่อสัดส่วน e/D มีค่าเท่ากับ 0.20 สำหรับผลการทดลองพบว่า ช่องขนานที่มีการจัดวางแบบแนวครีบริบตรง และอัตราส่วน e/D เท่ากับ 0.33 ค่า f จะมีแนวโน้มลดลงจนกระทั่งมีค่าคงที่ที่ประมาณ 2.50 ซึ่งเป็นค่าสูงสุดเมื่อเทียบกับช่องขนานประเภทอื่นๆ ส่วนช่องขนานที่สัดส่วน e/D เท่ากับ 0.20 และมีการจัดวางทั้งแบบแนวครีบริบตรงและครีบริบเฉียง จะมีแนวโน้มค่อนข้างใกล้เคียงกันและมีค่าต่ำที่สุด โดยจะมีแนวโน้มลดลงจนกระทั่งมีค่าคงที่ที่ประมาณ 0.50



รูปที่ 6.5 แสดงความสัมพันธ์ระหว่างตัวเลขเรย์โนลด์และค่าตัวประกอบเสียดทาน ของช่องขนานที่มีครีบริบตรง

6.3.4 ผลความสัมพันธ์ระหว่างค่าตัวเลขเรย์โนลด์ และค่าตัวประกอบเสียดทานของขนานที่มีครีบริบตรงต่อช่องขนานแผ่นเรียบ

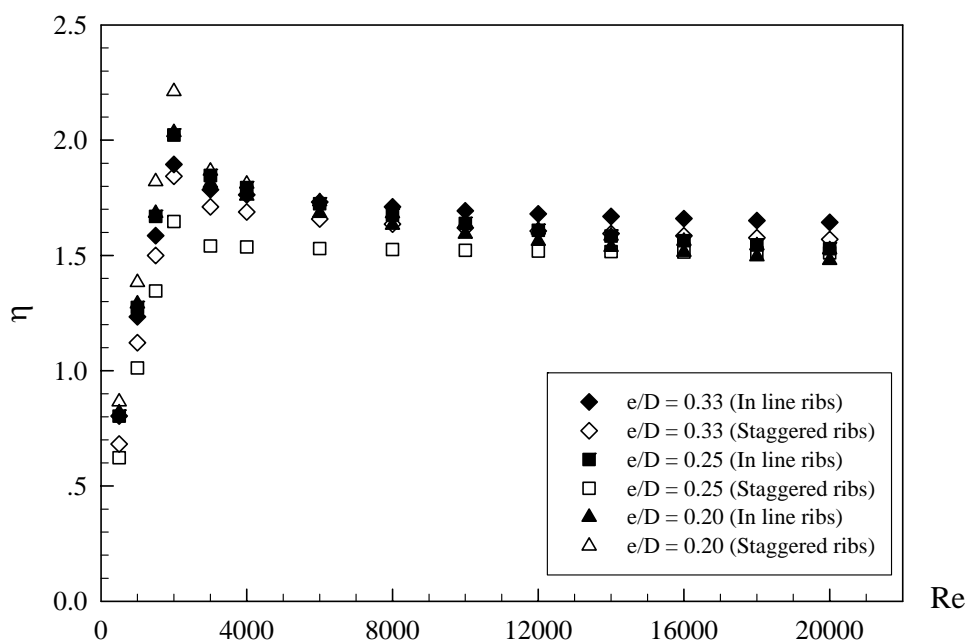
จากรูปที่ 6.6 แสดงความสัมพันธ์ระหว่างตัวเลขเรย์โนลด์และค่าตัวประกอบเสียดทานของขนานที่มีครีบริบตรงเทียบกับช่องขนานแผ่นเรียบ (ff_0) โดยสามารถสรุปผลการทดลองได้คือ อัตราส่วนค่า ff_0 ของช่องขนานทุกประเภทจะมีแนวโน้มเพิ่มขึ้นอย่างรวดเร็วจนกระทั่งถึงค่า Re เท่ากับ 3,000 หลังจากนั้นอัตราส่วน ff_0 ของช่องขนานทุกประเภทจะมีลักษณะเพิ่มขึ้นอย่างช้าๆ โดยช่องขนานที่มีการจัดวางแบบแนวครีบริบตรง และสัดส่วน e/D เท่ากับ 0.33 จะให้อัตราส่วนค่า ff_0 สูงสุด เมื่อเทียบกับช่องขนานที่มีครีบริบตรงประเภทอื่นๆ โดยจะมีค่ามากกว่าช่องขนานชนิดผิวเรียบเฉลี่ยเท่ากับ 30.88 เท่าในช่วงการไหลแบบราบเรียบ และ 83.21 ในช่วงการไหลแบบปั่นป่วน ส่วนช่องขนานที่มีการจัดวางแบบแนวครีบริบเอียง และสัดส่วน e/D เท่ากับ 0.20 จะให้ค่า ff_0 ต่ำที่สุด เมื่อเทียบกับช่องขนานประเภทอื่นๆ โดยจะมีค่ามากกว่าช่องขนานแผ่นเรียบเฉลี่ยเท่ากับ 5.79 เท่าในช่วงการไหลแบบราบเรียบ และ 16.59 เท่าในช่วงการไหลแบบปั่นป่วน โดยผลที่ได้ของช่องขนานที่มีครีบริบตรง จัดวางแบบแนวครีบริบตรงและครีบริบเอียง และสัดส่วน e/D เท่ากับ 0.20 จะให้ผลของค่า ff_0 ที่ค่อนข้างใกล้เคียงกัน



รูปที่ 6.6 แสดงความสัมพันธ์ระหว่างค่าตัวเลขเรย์โนลด์และค่าตัวประกอบเสียดทานของ ช่องขนานที่มีครีบริบตรงต่อช่องขนานแผ่นเรียบ

6.3.5 ผลความสัมพันธ์ระหว่างค่าตัวเลขเรย์โนลด์ และประสิทธิภาพการเพิ่มสมรรถนะการถ่ายเทความร้อนของช่องขนานที่มีครีบริบตรง

จากรูปที่ 6.7 พบว่าค่าประสิทธิภาพการเพิ่มสมรรถนะการถ่ายเทความร้อน(η) ของช่องขนาน ที่มีครีบริบตรง ทุกประเภทในช่วงการไหลแบบราบเรียบจะมีค่าเพิ่มขึ้นอย่างรวดเร็ว แต่เมื่อค่า Re มีค่ามากกว่า 2,000 ค่า η ของช่องขนานที่มีครีบริบทุกประเภทจะมีแนวโน้มลดลงอย่างต่อเนื่อง จนกระทั่งค่า Re มีค่าประมาณ 10,000 ค่า η ของช่องขนานมีครีบริบทุกชนิดจะมีแนวโน้มลดลงเพียงเล็กน้อย โดยช่องขนานที่มีการจัดวางแบบแนวครีบริบเฉียง และอัตราส่วน e/D เท่ากับ 0.20 จะมีค่า η สูงกว่าช่องขนานประเภทอื่นในช่วงค่า Re ต่ำกว่า 4,000 หลังจากนั้นช่องขนานที่มีการจัดวางแบบแนวครีบริบตรง และอัตราส่วน e/D เท่ากับ 0.33 จะมีค่า η สูงกว่าช่องขนานประเภทอื่น โดยจะพบว่า ค่า η สูงสุดจะเกิดขึ้นกับช่องขนานที่มีการจัดวางแบบแนวครีบริบเฉียง และอัตราส่วน e/D เท่ากับ 0.20 ที่ค่า Re เท่ากับ 2,000 โดยจะมีค่าเท่ากับ 2.21 และมีค่าเฉลี่ยสูงสุดเช่นเดียวกัน เท่ากับ 1.63 ส่วนช่องขนานที่มีการจัดวางแบบแนวครีบริบเฉียง และอัตราส่วน e/D เท่ากับ 0.25 จะมีค่า η ต่ำที่สุด เมื่อเทียบกับช่องขนานประเภทอื่น เมื่อค่า Re มีค่าต่ำกว่า 12,000 หลังจากนั้น ช่องขนานที่มีการจัดวางแบบแนวครีบริบตรง และอัตราส่วน e/D เท่ากับ 0.20 จะมีค่า η ต่ำกว่าช่องขนานประเภทอื่น สำหรับค่า η ส่วนช่องขนานครีบริบตรงที่มีการจัดวางแบบแนวครีบริบเฉียง และอัตราส่วน e/D เท่ากับ 0.25 จะมีค่าเฉลี่ยต่ำที่สุดเท่ากับ 1.42

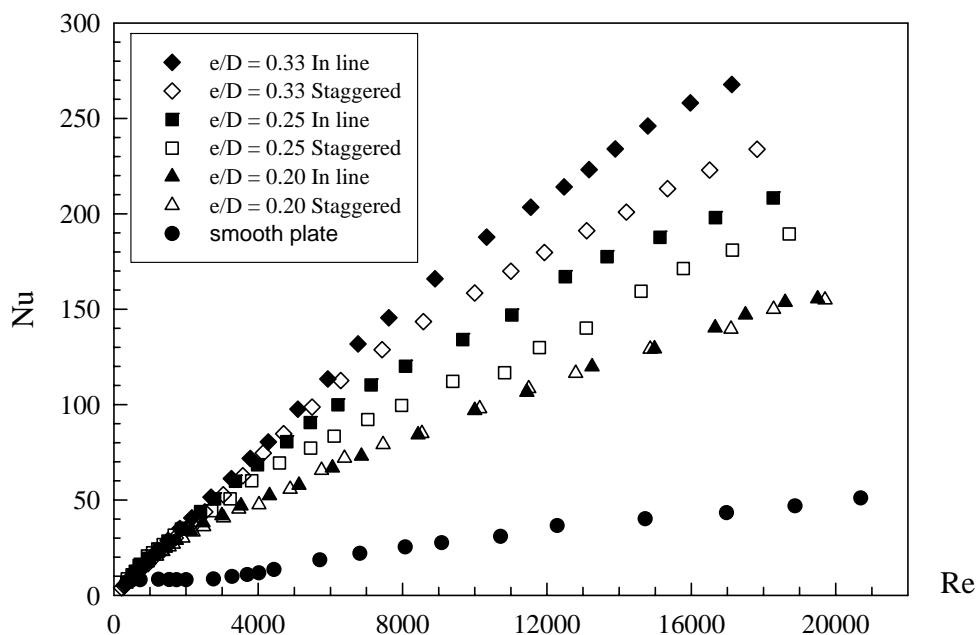


รูปที่ 6.7 แสดงความสัมพันธ์ระหว่างค่าตัวเลขเรย์โนลด์และประสิทธิภาพการเพิ่มสมรรถนะการถ่ายเทความร้อน (η) ช่องขนานที่มีครีบริบตรง

6.4 ช่องขนานที่มีครีบริบตัววี (V-shaped ribbed plate)

6.4.1 ผลความสัมพันธ์ระหว่างตัวเลขเรย์โนลด์และค่าตัวเลขนัสเซลท์ ของช่องขนานที่มีครีบริบตัววี

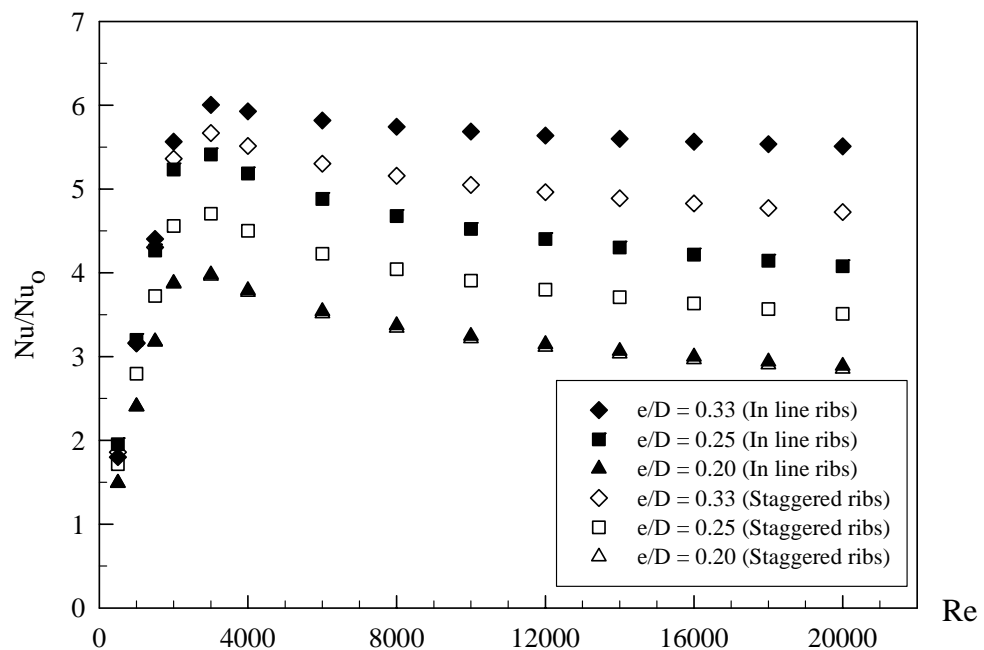
จากรูปที่ 6.8 แสดงความสัมพันธ์ระหว่างตัวเลขเรย์โนลด์และค่าตัวเลขนัสเซลท์ของช่องขนานที่มีครีบริบตัววี สามารถสรุปผลการทดลองได้ว่าค่าตัวเลขนัสเซลท์ (Nu) ของช่องขนานจะมีค่าเพิ่มมากขึ้นตามค่าตัวเลขเรย์โนลด์ (Re) ที่เพิ่มขึ้นหรือการไหลที่มีลักษณะปั่นป่วนมากยิ่งขึ้น โดยแผ่นครีบริบภายในช่องขนานสามารถช่วยเพิ่มความปั่นป่วนให้กับการไหลของอากาศที่ไหลผ่านซึ่งจะช่วยทำให้ค่า Nu มีค่าสูงขึ้น สำหรับรูปแบบการไหลของอากาศแบบราบเรียบ (Laminar flow) และค่า Re มีค่าต่ำกว่า 500 พบว่าค่า Nu ของช่องขนานชนิดผิวเรียบและช่องขนานที่มีครีบริบตัววีทุกประเภทจะมีค่าใกล้เคียงกัน ส่วนลักษณะการจัดวางแบบแนวครีบริบตรงและแนวครีบริบเอียงจะมีค่า Nu ใกล้เคียงกันเมื่อค่าตัวเลข Re ค่าต่ำกว่า 1,200 หลังจากนั้นค่า Nu ของการจัดวางแนวครีบริบทั้ง 2 ประเภท จะเริ่มมีค่าแตกต่างกันมากขึ้น โดยลักษณะการจัดวางแนวครีบริบภายในช่องขนานแบบแนวครีบริบตรงจะให้ค่า Nu สูงกว่าแบบแนวครีบริบเอียง โดยผลต่างของค่า Nu ของการจัดวางครีบริบแบบแนวครีบริบตรงและแนวครีบริบเอียงจะมีค่าน้อยลง เมื่อสัดส่วน e/D มีค่าลดลง และค่า Nu จะมีค่าค่อนข้างใกล้เคียงกันมากยิ่งขึ้นเมื่อสัดส่วน e/D มีค่าเท่ากับ 0.20 สำหรับสัดส่วนความสูงครีบริบต่อระยะห่างแผ่นช่องขนาน (e/D) จะมีผลต่อค่า Nu อย่างมากคือที่สัดส่วน e/D เท่ากับ 0.33 จะให้ค่า Nu สูงกว่าที่สัดส่วน e/D เท่ากับ 0.20



รูปที่ 6.8 แสดงความสัมพันธ์ระหว่างตัวเลขเรย์โนลด์และค่าตัวเลขนัสเซลท์ของช่องขนานที่มีครีบริบตัววี

6.4.2 ผลความสัมพันธ์ระหว่างค่าตัวเลขเรย์โนลด์ และค่าตัวเลขเชลท์ของช่องขนานมีครีบริบรูปตัววีต่อช่องขนานแผ่นเรียบ

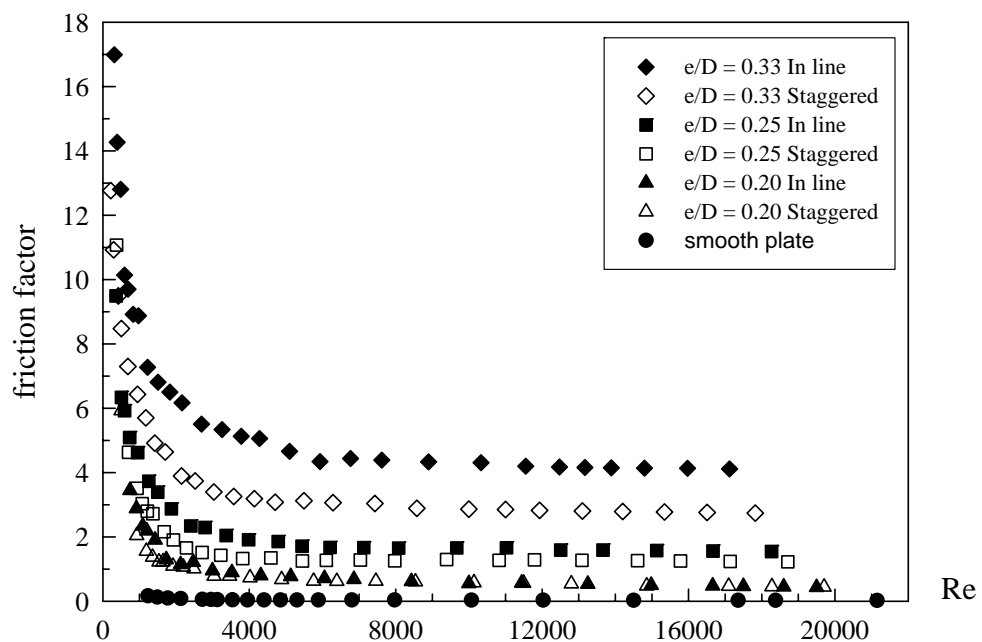
จากรูปที่ 6.9 แสดงความสัมพันธ์ระหว่างค่าตัวเลขเรย์โนลด์และค่าตัวเลขเชลท์ของช่องขนานที่มีครีบริบรูปตัววีต่อช่องขนานแผ่นเรียบ (Nu/Nu_0) สามารถสรุปผลได้คือ ในช่วงการไหลที่มีความปั่นป่วนไม่มากนักหรือในช่วงค่าตัวเลข Re ระหว่าง 300-3,000 อัตราส่วน Nu/Nu_0 ของช่องขนานทุกชนิดจะมีค่าเพิ่มขึ้นอย่างรวดเร็ว โดยช่องขนานทุกประเภทจะมีค่าสูงสุดที่ค่าตัวเลข Re เท่ากับ 3,000 หลังจากนั้นค่าอัตราส่วน Nu/Nu_0 จะมีแนวโน้มลดลงเล็กน้อยเมื่อลักษณะการไหลมีความปั่นป่วนมากขึ้นหรือค่าตัวเลข Re มีค่าสูงขึ้น โดยช่องขนานที่จัดวางแบบแนวครีบริบตรงที่สัดส่วน e/D เท่ากับ 0.33 จะให้อัตราส่วน Nu/Nu_0 สูงสุด เมื่อเทียบกับช่องขนานที่มีครีบริบรูปตัววีประเภทอื่นๆ โดยจะมีค่า Nu/Nu_0 สูงที่สุดเท่ากับ 6.00 ที่ค่า Re เท่ากับ 3,000 และมีค่า Nu/Nu_0 เฉลี่ยสูงสุดเช่นเดียวกัน โดยมีค่าเท่ากับ 5.14 เท่า ในช่วงการไหลแบบปั่นป่วน ส่วนช่องขนานที่จัดวางแบบแนวครีบริบตรงและแนวครีบริบเฉียงที่สัดส่วน e/D เท่ากับ 0.20 จะให้ค่าอัตราส่วน Nu/Nu_0 ที่มีค่าค่อนข้างใกล้เคียงกัน และมีค่าต่ำที่สุดเมื่อเทียบกับช่องขนานที่มีครีบริบรูปตัววีประเภทอื่นๆ โดยจะมีค่ามากกว่าช่องขนานแผ่นเรียบ เฉลี่ยเท่ากับ 3.14 และ 3.12 เท่า ตามลำดับ



รูปที่ 6.9 แสดงความสัมพันธ์ระหว่างค่าตัวเลขเรย์โนลด์และค่าตัวเลขเชลท์ของช่องขนานที่มีครีบริบรูปตัววีต่อช่องขนานแผ่นเรียบ

6.4.3 ผลความสัมพันธ์ระหว่างตัวเลขเรย์โนลด์และค่าตัวประกอบเสียดทานของช่องขนานที่มีครีบริบตัววี

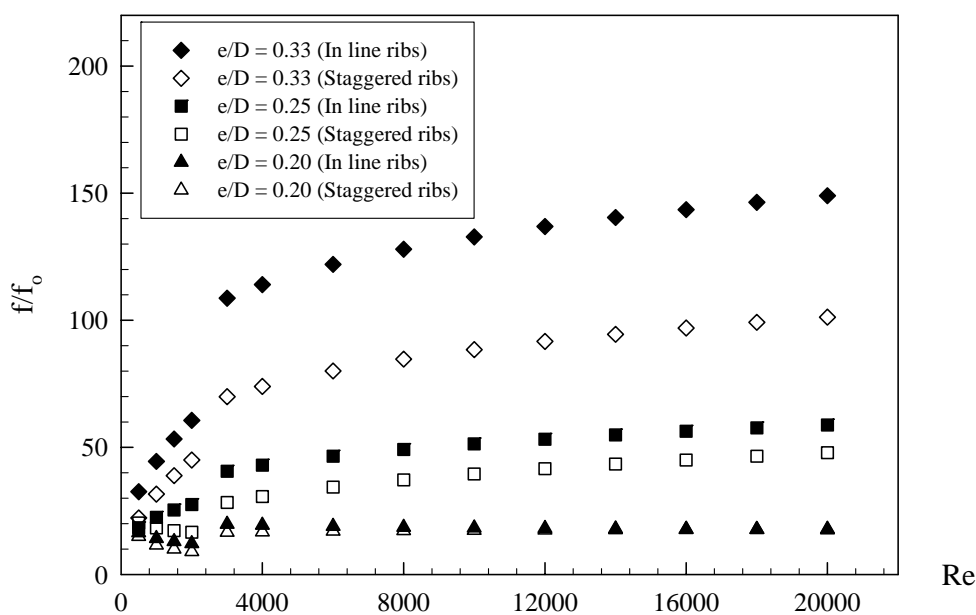
จากรูปที่ 6.10 แสดงความสัมพันธ์ระหว่างตัวเลขเรย์โนลด์และค่าตัวประกอบเสียดทานของช่องขนานที่มีครีบริบตัววี โดยสามารถสรุปผลการทดลองได้คือ แผ่นครีบริบภายในช่องขนานจะทำให้ค่าตัวประกอบเสียดทาน (f) ของช่องขนานมีค่าสูงขึ้น โดยที่ค่า f ของช่องขนานทุกประเภทที่ลักษณะการไหลแบบราบเรียบ (Laminar flow) จะมีค่าค่อนข้างสูงและมีค่าลดลงอย่างรวดเร็วเมื่อค่า Re มีค่าเพิ่มขึ้น แต่เมื่อค่า Re มีค่ามากกว่า 2,300 ค่า f ของช่องขนานทุกประเภทจะมีอัตราการลดลงเพียงเล็กน้อย จนมีแนวโน้มคงที่ที่ค่าหนึ่งๆ โดยที่สัดส่วน e/D เท่ากับ 0.33 จะให้ค่า f มากกว่าที่สัดส่วน e/D เท่ากับ 0.20 เมื่อพิจารณาที่สัดส่วน e/D เท่ากับ 0.33 ลักษณะการจัดวางแนวครีบริบภายในช่องขนานจะมีผลต่อค่า f คือการจัดวางแบบแนวครีบริบตรงจะมีค่า f สูงกว่าการจัดวางแบบแนวครีบริบเอียง แต่ผลต่างของค่า f ของลักษณะการจัดวางแบบแนวครีบริบตรงและเอียงจะมีค่าลดน้อยลง เมื่อสัดส่วน e/D มีค่าลดลง โดยค่า f ของการจัดวางครีบริบทั้ง 2 ประเภทจะมีค่าใกล้เคียงกันมากยิ่งขึ้นเมื่อสัดส่วน e/D มีค่าเท่ากับ 0.20 สำหรับผลการทดลองพบว่า ช่องขนานที่จัดวางแบบแนวครีบริบตรง และอัตราส่วน e/D เท่ากับ 0.33 ค่า f จะมีแนวโน้มลดลงจนกระทั่งมีค่าคงที่ที่ประมาณ 4.10 ซึ่งเป็นค่าสูงสุดเมื่อเทียบกับช่องขนานที่มีครีบริบตัววีประเภทอื่นๆ ส่วนช่องขนานที่สัดส่วน e/D เท่ากับ 0.20 และมีการจัดวางทั้งแบบครีบริบตรงและครีบริบเอียง จะมีแนวโน้มค่อนข้างใกล้เคียงกันและมีค่าต่ำที่สุด โดยจะมีแนวโน้มลดลงจนกระทั่งมีค่าคงที่ที่ประมาณ 0.44



รูปที่ 6.10 แสดงความสัมพันธ์ระหว่างตัวเลขเรย์โนลด์และค่าตัวประกอบเสียดทาน ของช่องขนานที่มีครีบริบตัววี

6.4.4 ผลความสัมพันธ์ระหว่างค่าตัวเลขเรย์โนลด์ และตัวประกอบเสียดทานช่องขนาน ที่มีครีบริบตัววีต่อช่องขนานแผ่นเรียบ

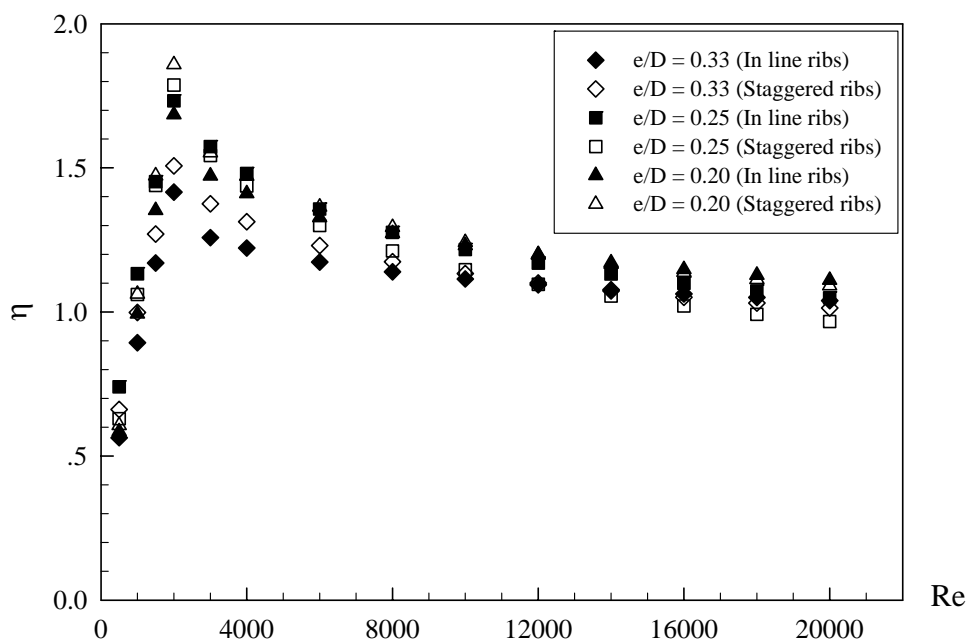
จากรูปที่ 6.11 แสดงความสัมพันธ์ระหว่างตัวเลขเรย์โนลด์และค่าตัวประกอบเสียดทานของแผ่นขนานที่มีครีบริบตัววีเทียบกับแผ่นขนานแผ่นเรียบ (f/f_0) โดยสามารถสรุปผลการทดลองได้คือ อัตราส่วนค่า f/f_0 ของช่องขนานทุกประเภทจะมีแนวโน้มเพิ่มขึ้นอย่างรวดเร็วจนกระทั่งค่า Re มีค่าเท่ากับ 3,000 หลังจากนั้นอัตราส่วน f/f_0 ของช่องขนานทุกประเภทจะมีลักษณะเพิ่มขึ้นอย่างช้าๆ โดยช่องขนาน ที่มีการจัดวางแบบแนวครีบริบตรง และสัดส่วน e/D เท่ากับ 0.33 จะให้อัตราส่วนค่า f/f_0 สูงสุด เมื่อเทียบกับช่องขนานที่มีครีบริบตัววีประเภทอื่นๆ โดยจะมีค่ามากกว่าช่องขนานชนิดผิวเรียบเฉลี่ยเท่ากับ 47.75 เท่าในช่วงการไหลแบบราบเรียบ และ 132.17 ในช่วงการไหลแบบปั่นป่วน ส่วนช่องขนานที่มีครีบริบตัววี ที่มีการจัดวางแบบแนวครีบริบเอียง และสัดส่วน e/D เท่ากับ 0.20 จะให้ค่า f/f_0 ต่ำที่สุด เมื่อเทียบกับช่องขนานที่มีครีบริบตัววีประเภทอื่นๆ โดยจะมีค่ามากกว่าช่องขนานชนิดแผ่นเรียบเฉลี่ยเท่ากับ 11.41 เท่าในช่วงการไหลแบบราบเรียบ และ 17.38 เท่าในช่วงการไหลแบบปั่นป่วน โดยค่าของ f/f_0 ของช่องขนานที่มีครีบริบตัววี จัดวางแบบแนวครีบริบตรงและครีบริบเอียง และสัดส่วน e/D เท่ากับ 0.20 จะให้ผลของค่า f/f_0 ที่ค่อนข้างใกล้เคียงกัน



รูปที่ 6.11 แสดงความสัมพันธ์ระหว่างค่าตัวเลขเรย์โนลด์และตัวประกอบเสียดทาน ช่องขนานที่มีครีบริบตัววีต่อช่องขนานแผ่นเรียบ

6.4.5 ผลความสัมพันธ์ระหว่างค่าตัวเลขเรย์โนลด์ และประสิทธิภาพการเพิ่มสมรรถนะการถ่ายเทความร้อนของช่องขนานที่มีครีบริบตัววี

จากรูปที่ 6.12 พบว่าค่าประสิทธิภาพการเพิ่มสมรรถนะการถ่ายเทความร้อน (η) ของช่องขนานที่มีครีบริบตัววี ทุกประเภทในช่วงการไหลแบบราบเรียบจะมีค่าเพิ่มขึ้นอย่างรวดเร็ว แต่เมื่อค่า Re มีค่ามากกว่า 2,000 ค่า η ของแผ่นครีบริบทุกประเภทจะมีแนวโน้มลดลงอย่างต่อเนื่องจนกระทั่งค่า Re มีค่าประมาณ 12,000 ค่า η ของช่องขนานทุกชนิดจะมีแนวโน้มลดลงเล็กน้อยโดยในช่วงค่าตัวเลข Re ต่ำกว่า 10,000 ค่า η ของ ช่องขนานที่มีครีบริบตัววีทุกประเภทจะมีความแตกต่างกันค่อนข้างมาก แต่เมื่อค่าตัวเลข Re มีค่ามากกว่า 10,000 ค่า η ของช่องขนานแต่ละประเภทจะมีค่าแตกต่างกันไม่มากนัก โดยช่องขนานที่มีการจัดวางแบบแนวครีบริบเฉียง และอัตราส่วน e/D เท่ากับ 0.20 จะมีค่า η สูงที่สุดที่ค่าตัวเลข Re เท่ากับ 2,000 โดยมีค่าสูงสุดเท่ากับ 1.86 และมีค่าเฉลี่ยสูงสุดเช่นเดียวกันคือเท่ากับ 1.26 ใกล้เคียงกับช่องขนานช่องขนานที่มีการจัดวางแบบแนวครีบริบตรง และอัตราส่วน e/D เท่ากับ 0.25 ซึ่งมีค่าเฉลี่ยเท่ากับ 1.25 ส่วนช่องขนานที่มีการจัดวางแบบแนวครีบริบตรง และอัตราส่วน e/D เท่ากับ 0.33 จะมีค่า η เฉลี่ยต่ำที่สุดเมื่อเทียบกับช่องขนานประเภทอื่นในทุกช่วงอัตราการไหล โดยมีค่าเฉลี่ยเท่ากับ 1.09

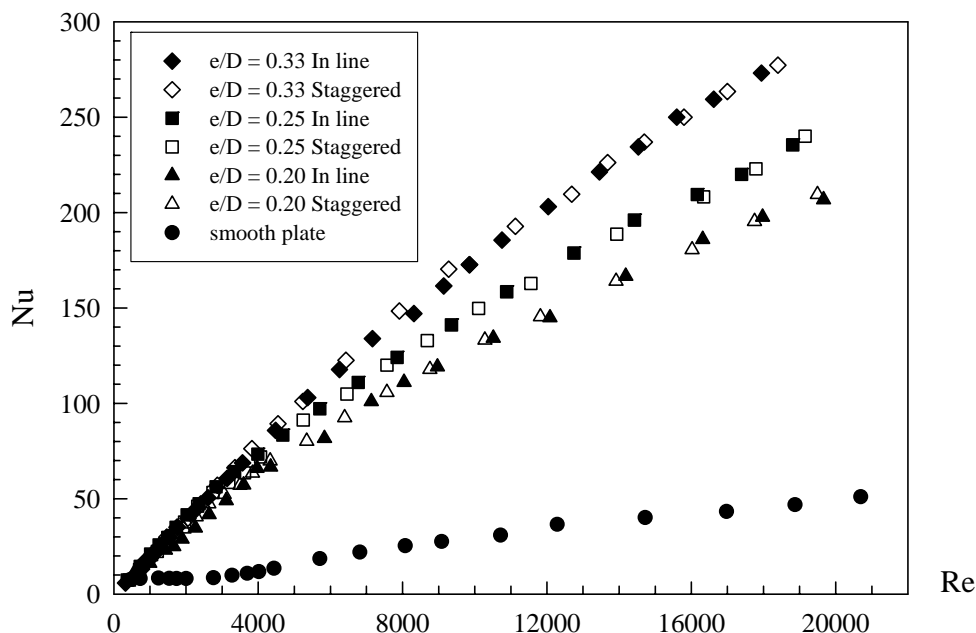


รูปที่ 6.12 แสดงความสัมพันธ์ระหว่างค่าตัวเลขเรย์โนลด์ และประสิทธิภาพการเพิ่มสมรรถนะการถ่ายเทความร้อนของช่องขนานที่มีครีบริบตัววี

6.5 ช่องขนานที่มีครีบริบและร่องตรง (Ribbed grooved plate)

6.5.1 ผลความสัมพันธ์ระหว่างตัวเลขเรย์โนลด์และค่าตัวเลขนัสเซิลท์ของช่องขนานที่มีครีบริบและร่องตรง

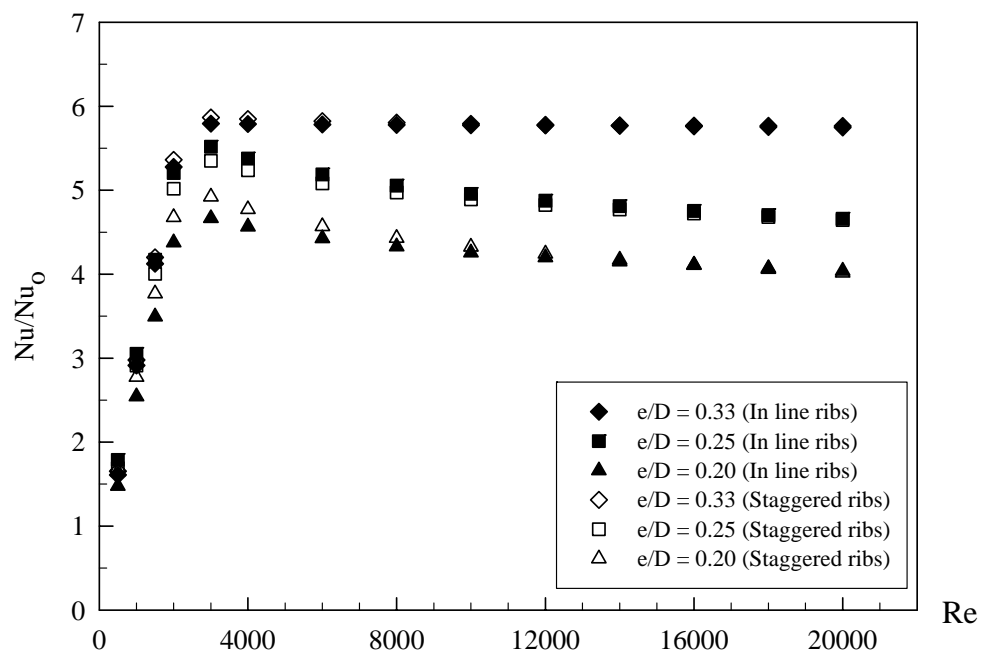
จากรูปที่ 6.13 แสดงความสัมพันธ์ระหว่างตัวเลขเรย์โนลด์และค่าตัวเลขนัสเซิลท์ของแผ่นขนานที่มีครีบริบและร่องตรง สามารถสรุปผลการทดลองได้ว่าค่าตัวเลขนัสเซิลท์ (Nu) ของช่องขนานจะมีค่าเพิ่มมากขึ้นตามค่าตัวเลขเรย์โนลด์ (Re) ที่เพิ่มขึ้นหรือการไหลที่มีลักษณะปั่นป่วนมากยิ่งขึ้น โดยแผ่นครีบริบและร่องภายในช่องขนานสามารถช่วยเพิ่มความปั่นป่วนให้กับการไหลของอากาศที่ไหลผ่านซึ่งจะช่วยทำให้ค่า Nu มีค่าสูงขึ้น สำหรับรูปแบบการไหลของอากาศแบบราบเรียบ (Laminar flow) และค่า Re มีค่าต่ำกว่า 500 พบว่าค่า Nu ของช่องขนานชนิดแผ่นเรียบและช่องขนานมีครีบริบทุกประเภทจะมีค่าใกล้เคียงกัน สำหรับสัดส่วนความสูงครีบริบต่อระยะห่างช่องขนาน (e/D) จะมีผลต่อค่า Nu อย่างมากคือที่สัดส่วน e/D เท่ากับ 0.33 จะให้ค่า Nu สูงกว่าที่สัดส่วน e/D เท่ากับ 0.20 โดยการจัดวางแบบแนวครีบริบตรงและครีบริบเยื้องให้ค่า Nu ไม่แตกต่างกันมากนัก จากการทดลองจะพบว่า ที่อัตราส่วน e/D เท่ากับ 0.25 และ 0.33 ขอบเขตค่า Re ที่ทดลองได้จะมีผลลดลงทั้งนี้เนื่องจากความเสียดทานที่เกิดขึ้นในชุดทดสอบมีค่าเพิ่มขึ้นเนื่องจากช่องว่างที่ให้อากาศผ่านมีค่าน้อยลงทำให้ปริมาณลมที่ผ่านชุดทดสอบได้มีค่าน้อยลงตามไปด้วย



รูปที่ 6.13 แสดงความสัมพันธ์ระหว่างตัวเลขเรย์โนลด์และค่าตัวเลขนัสเซิลท์ของช่องขนานที่มีครีบริบและร่องตรง

6.5.2 ผลความสัมพันธ์ระหว่างค่าตัวเลขเรย์โนลด์ และค่าตัวเลขนัสเซิลท์ของช่องขนานที่มีครีบริบและร่องตรงต่อช่องขนานแผ่นเรียบ

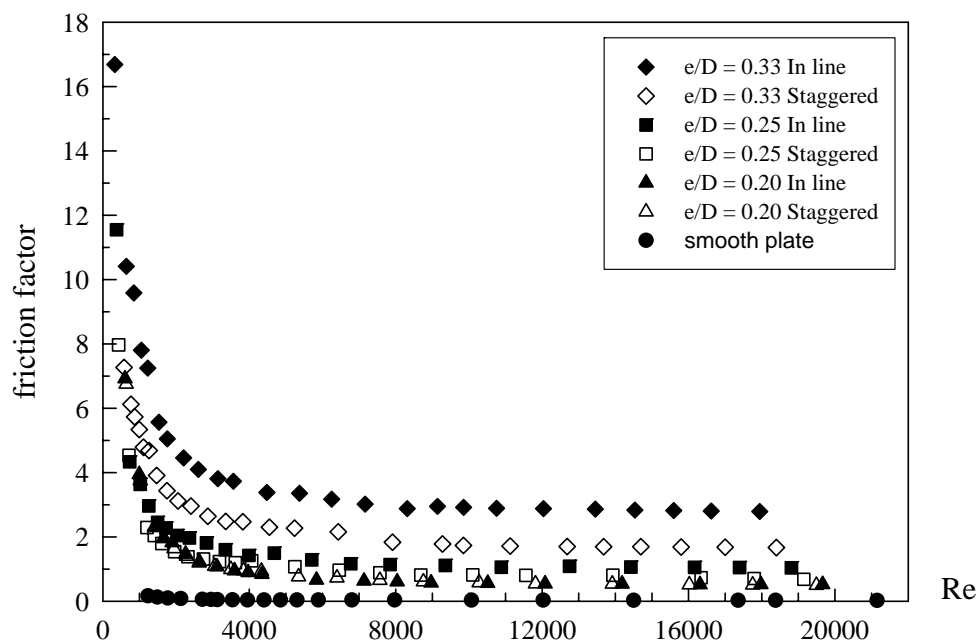
จากรูปที่ 6.14 แสดงความสัมพันธ์ระหว่างค่าตัวเลขเรย์โนลด์ (Reynolds number , Re) และค่าตัวเลขนัสเซิลท์ ช่องขนานที่มีครีบริบและร่องตรงต่อช่องขนานแผ่นเรียบ (Nu/Nu_0) สามารถสรุปผลได้คือ การจัดวางแบบแนวครีบริบตรงและแนวครีบริบเอียงจะไม่ส่งผลถึงค่าตัวเลข Nu โดยในช่วงการไหลที่มีความปั่นป่วนไม่มากนักหรือในช่วงค่าตัวเลข Re ระหว่าง 300-3,000 อัตราส่วน Nu/Nu_0 ของช่องขนานทุกชนิดจะมีค่าเพิ่มขึ้นอย่างรวดเร็ว โดยช่องขนานทุกประเภทจะมีค่าสูงสุดที่ค่าตัวเลข Re เท่ากับ 3,000 หลังจากนั้นค่าอัตราส่วน Nu/Nu_0 ของช่องขนานทุกประเภทจะมีแนวโน้มลดลงเล็กน้อยเมื่อลักษณะการไหลมีความปั่นป่วนมากขึ้นหรือค่าตัวเลข Re มีค่าสูงขึ้น โดยที่ช่องขนานที่มีการจัดวางแบบครีบริบเอียงและสัดส่วน e/D เท่ากับ 0.33 จะให้อัตราส่วน Nu/Nu_0 สูงสุด เมื่อเทียบกับช่องขนานที่มีครีบริบและร่องตรงประเภทอื่นๆ โดยจะมีค่า Nu/Nu_0 สูงที่สุดเท่ากับ 5.86 ที่ Re เท่ากับ 3,000 และมีค่า Nu/Nu_0 เฉลี่ยสูงสุดเท่ากับ 5.79 เท่าในช่วงการไหลแบบปั่นป่วน ส่วนช่องขนานที่มีครีบริบและร่องตรงที่สัดส่วน e/D เท่ากับ 0.20 และจัดวางแบบแนวครีบริบตรงจะให้ค่าอัตราส่วน Nu/Nu_0 มีค่าต่ำที่สุดเมื่อเทียบกับช่องขนานที่มีครีบริบและร่องตรงประเภทอื่นๆ โดยจะมีค่ามากกว่าช่องขนานชนิดผิวเรียบ เฉลี่ยเท่ากับ 4.28 เท่าในช่วงการไหลแบบปั่นป่วน



รูปที่ 6.14 แสดงความสัมพันธ์ระหว่างค่าตัวเลขเรย์โนลด์ และค่าตัวเลขนัสเซิลท์ของช่องขนานที่มีครีบริบและร่องตรง ต่อช่องขนานแผ่นเรียบ

6.5.3 ผลความสัมพันธ์ระหว่างตัวเลขเรย์โนลด์และค่าตัวประกอบเสียดทานของช่องขนานที่มีครีบริบและร่องตรง

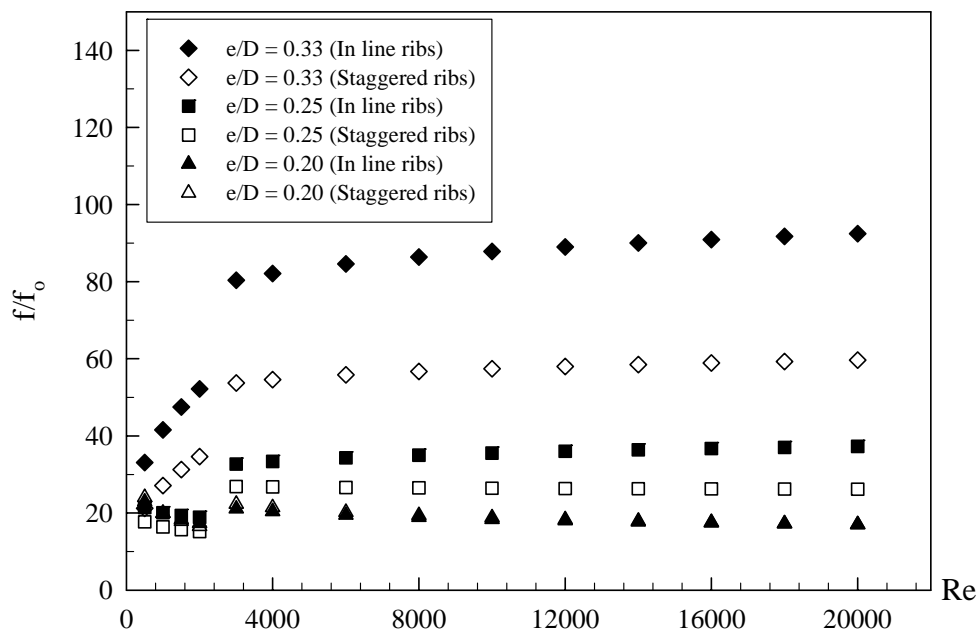
จากรูปที่ 6.15 แสดงความสัมพันธ์ระหว่างตัวเลขเรย์โนลด์ (Re) และค่าตัวประกอบเสียดทาน (f) ของแผ่นขนานที่มีครีบริบและร่องตรง โดยสามารถสรุปผลการทดลองได้คือ แผ่นครีบริบภายในช่องขนานจะทำให้ค่า f ของช่องขนานมีค่าสูงขึ้น โดยที่ค่า f ของช่องขนานทุกประเภทที่ลักษณะการไหลแบบราบเรียบ (Laminar flow) จะมีค่าค่อนข้างสูงและมีค่าลดลงอย่างรวดเร็วเมื่อค่า Re มีค่าเพิ่มขึ้น แต่เมื่อค่า Re มีค่ามากกว่า 2,500 ค่า f ของช่องขนานทุกประเภทจะมีอัตราลดลงเพียงเล็กน้อย จนมีแนวโน้มคงที่ที่ค่าหนึ่งๆ โดยที่สัดส่วน e/D เท่ากับ 0.33 จะให้ค่า f มากกว่าที่สัดส่วน e/D เท่ากับ 0.20 เมื่อพิจารณาที่สัดส่วน e/D เท่ากับ 0.33 ลักษณะการจัดวางแนวครีบริบภายในช่องขนานจะมีผลต่อค่า f คือการจัดวางแบบแนวครีบริบตรงจะมีค่า f สูงกว่าการจัดวางแบบแนวครีบริบเฉียง แต่ผลต่างของค่า f ของลักษณะการจัดวางครีบริบตรงและเฉียงจะมีค่าน้อยลง เมื่อสัดส่วน e/D มีค่าลดลง โดยค่า f ของการจัดวางครีบริบทั้ง 2 ประเภทจะมีค่าใกล้เคียงกันมากยิ่งขึ้นเมื่อสัดส่วน e/D มีค่าเท่ากับ 0.20 สำหรับผลการทดลองพบว่า ช่องขนานที่มีครีบริบและร่องตรง ที่จัดวางแบบแนวครีบริบตรงและอัตราส่วน e/D เท่ากับ 0.33 ค่า f จะมีแนวโน้มลดลงจนกระทั่งมีค่าคงที่ที่ประมาณ 2.75 ซึ่งเป็นค่าสูงสุดเมื่อเทียบกับช่องขนานที่มีครีบริบและร่องตรงประเภทอื่นๆ ส่วนช่องขนานที่สัดส่วน e/D เท่ากับ 0.20 และมีการจัดวางทั้งแบบแนวครีบริบตรงและครีบริบเฉียง จะมีแนวโน้มค่อนข้างใกล้เคียงกันและมีค่าต่ำที่สุด โดยจะมีแนวโน้มลดลงจนกระทั่งมีค่าคงที่ที่ประมาณ 0.50



รูปที่ 6.15 แสดงความสัมพันธ์ระหว่างตัวเลขเรย์โนลด์และค่าตัวประกอบเสียดทาน ของช่องขนานที่มีครีบริบและร่องตรง

6.5.4 ผลความสัมพันธ์ระหว่างค่าตัวเลขเรย์โนลด์ และตัวประกอบเสียดทานของช่องขนานที่มีครีบริบและร่องตรงต่อช่องขนานแผ่นเรียบ

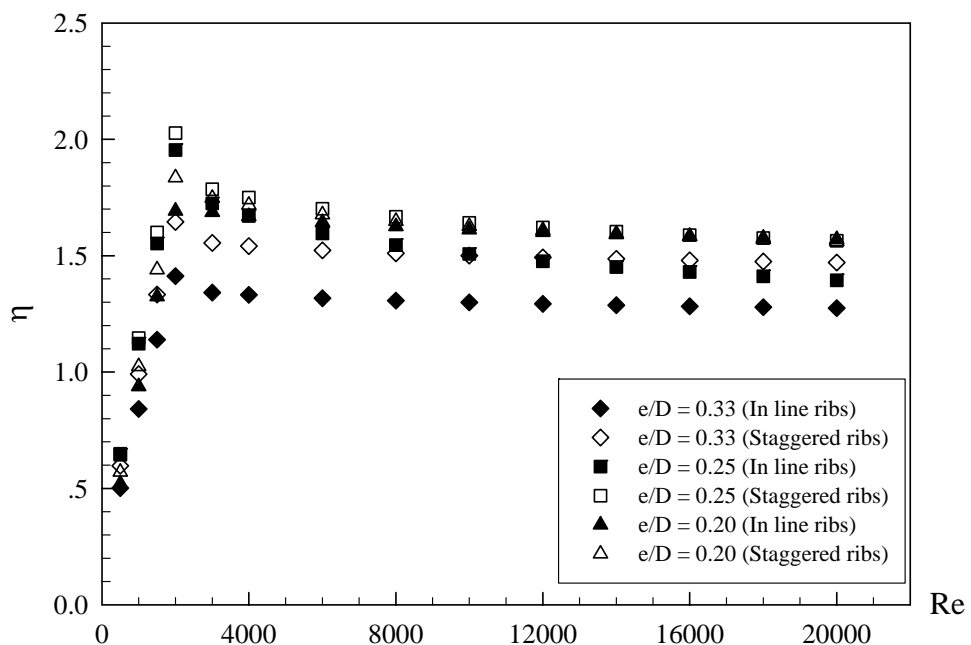
จากรูปที่ 6.16 แสดงความสัมพันธ์ระหว่างค่าตัวเลขเรย์โนลด์และค่าตัวประกอบเสียดทานของแผ่นขนานที่มีครีบริบและร่องตรงเทียบกับช่องขนานแผ่นเรียบ (f/f_0) โดยสามารถสรุปผลการทดลองได้คือ อัตราส่วนค่า f/f_0 ของช่องขนานทุกประเภทจะมีแนวโน้มเพิ่มขึ้นอย่างรวดเร็วจนกระทั่งถึงค่า Re เท่ากับ 3,000 หลังจากนั้นอัตราส่วน f/f_0 ของช่องขนานทุกประเภทจะมีลักษณะเพิ่มขึ้นอย่างช้าๆ โดยช่องขนานที่มีครีบริบและร่องตรง ที่จัดวางแบบแนวครีบริบตรง และสัดส่วน e/D เท่ากับ 0.33 จะให้อัตราส่วนค่า f/f_0 สูงสุด เมื่อเทียบกับช่องขนานที่มีครีบริบและร่องตรงประเภทอื่นๆ โดยจะมีค่ามากกว่าช่องขนานชนิดแผ่นเรียบเฉลี่ยเท่ากับ 43.56 เท่าในช่วงการไหลแบบราบเรียบ และ 87.54 เท่าในช่วงการไหลแบบปั่นป่วน ส่วนช่องขนานที่มีครีบริบและร่องตรง ที่จัดวางแบบแนวครีบริบเอียง และสัดส่วน e/D เท่ากับ 0.20 จะให้ค่า f/f_0 ต่ำที่สุดเมื่อเทียบกับช่องขนานที่มีครีบริบและร่องตรงประเภทอื่นๆ โดยจะมีค่ามากกว่าช่องขนานแผ่นเรียบเฉลี่ยเท่ากับ 16.23 เท่าในช่วงการไหลแบบราบเรียบ ส่วนการจัดวางแบบแนวครีบริบเอียงและสัดส่วน e/D เท่ากับ 0.20 จะให้เฉลี่ยต่ำที่สุดในช่วงการไหลแบบปั่นป่วนเท่ากับ 19.03 เท่าโดยผลที่ได้ของช่องขนานที่มีครีบริบตรง จัดวางแบบครีบริบตรง และครีบริบเอียง และสัดส่วน e/D เท่ากับ 0.20 จะให้ผลของค่า f/f_0 ที่ค่อนข้างใกล้เคียงกัน



รูปที่ 6.16 แสดงความสัมพันธ์ระหว่างค่าตัวเลขเรย์โนลด์และตัวประกอบเสียดทาน ช่องขนานที่มีครีบริบและร่องตรงต่อช่องขนานแผ่นเรียบ

6.5.5 ผลความสัมพันธ์ระหว่างค่าตัวเลขเรย์โนลด์ และประสิทธิภาพการเพิ่มสมรรถนะการถ่ายเทความร้อนของช่องขนานที่มีครีบริบและร่องตรง

จากรูปที่ 6.17 พบว่าค่าประสิทธิภาพการเพิ่มสมรรถนะการถ่ายเทความร้อนของช่องขนานที่มีครีบริบและร่องตรง ทุกประเภทในช่วงการไหลแบบราบเรียบจะมีค่าเพิ่มขึ้นอย่างรวดเร็ว แต่เมื่อค่า Re มีค่ามากกว่า 2,000 ค่า η ของช่องขนานที่มีครีบริบและร่องตรงทุกประเภทจะมีแนวโน้มลดลงอย่างต่อเนื่อง จนกระทั่งค่า Re มีค่าประมาณ 8,000 ค่า η ของแผ่นครีบริบทุกชนิดจะมีแนวโน้มลดลงเพียงเล็กน้อย โดยช่องขนานที่มีการจัดวางแบบแนวครีบริบเฉียง และอัตราส่วน e/D เท่ากับ 0.25 จะมีค่า η สูงกว่าช่องขนานที่มีครีบริบและร่องตรงประเภทอื่นในช่วงค่าตัวเลข Re ต่ำกว่า 8,000 โดยมีค่า η สูงสุดมีค่าเท่ากับ 2.03 ที่ค่า Re เท่ากับ 2,000 และมีค่าเฉลี่ยสูงสุดเช่นเดียวกันเท่ากับ 1.56 หลังจากนั้นช่องขนานที่มีครีบริบและร่องตรงที่มีการจัดวางแบบครีบริบเฉียง อัตราส่วน e/D เท่ากับ 0.25 และการจัดวางแบบครีบริบตรง อัตราส่วน e/D เท่ากับ 0.20 จะมีค่าสูงกว่าช่องขนานประเภทอื่นๆ และมีค่าใกล้เคียงกัน ทุกช่วงอัตราการไหล ส่วนช่องขนานที่มีการจัดวางแบบแนวครีบริบตรง และอัตราส่วน e/D เท่ากับ 0.33 จะมีค่า η ต่ำที่สุดตลอดทุกช่วงอัตราการไหล โดยมีค่าต่ำสุดเฉลี่ยเท่ากับ 1.21



รูปที่ 6.17 แสดงความสัมพันธ์ระหว่างค่าตัวเลขเรย์โนลด์ และประสิทธิภาพการเพิ่มสมรรถนะการถ่ายเทความร้อนช่องขนานที่มีครีบริบและร่องตรง

6.6 การเปรียบเทียบผลการทดลองของช่องขนานที่มีครีประเภตต่างๆที่สัดส่วนความสูงครี ต่อระยะห่างช่องขนาน (e/D) เท่ากัน

6.6.1 ค่าตัวเลขนัสเซิลท์ ที่สัดส่วน e/D เท่ากับ 0.20

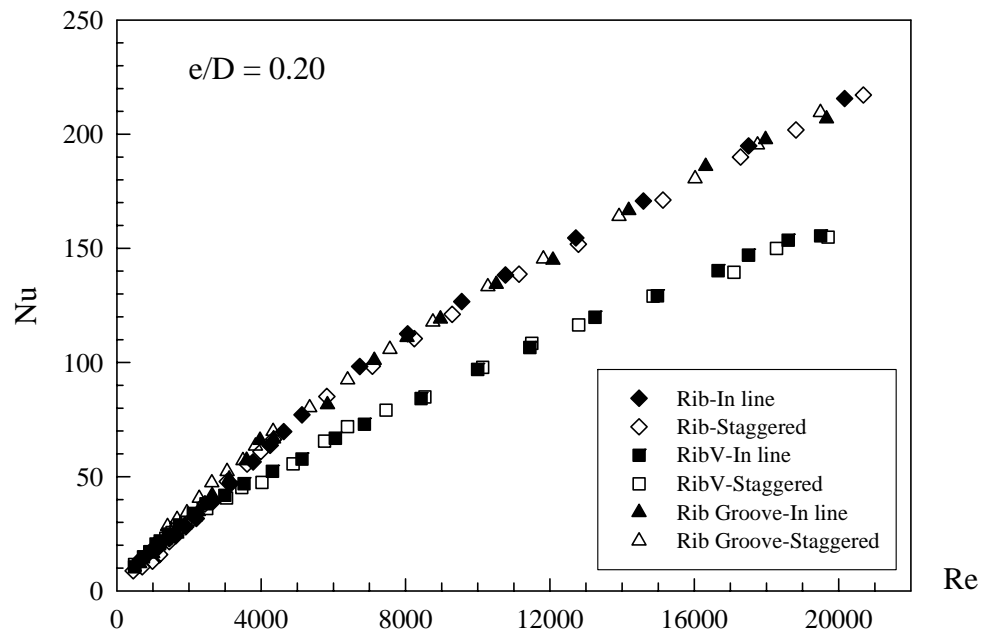
จากรูปที่ 6.18 แสดงการเปรียบเทียบค่าตัวเลขนัสเซิลท์ของช่องขนานที่มีครีประเภตต่างๆ ที่สัดส่วน e/D เท่ากับ 0.20 พบว่าอัตราการไหลที่มีความปั่นป่วนไม่มากนักหรือค่าตัวเลขเรย์โนลด์ต่ำกว่า 3,000 ค่า Nu ของช่องขนานมีครีทุกประเภตจะมีค่าใกล้เคียงกัน แต่เมื่อการไหลมีความปั่นป่วนมากยิ่งขึ้น ช่องขนานที่มีครีตรงและช่องขนานที่มีครีและร่องตรง จะมีอัตราส่วนการเพิ่มขึ้นเท่าๆกัน และเมื่อพิจารณาารูปแบบการจัดวางครีแบบแนวครีตรงและแนวครีเอียง พบว่าไม่มีความแตกต่างของการจัดวางครีทั้งสองประเภต ส่วนช่องขนานที่มีครีรูปตัววี จะมีอัตราส่วนการเพิ่มขึ้นของค่าตัวเลข Nu น้อยกว่าครีทั้งสองประเภตที่ได้กล่าวในข้างต้น ดังแสดงในรูปที่ 6.18

6.6.2 ค่าตัวเลขนัสเซิลท์ ที่สัดส่วน e/D เท่ากับ 0.25

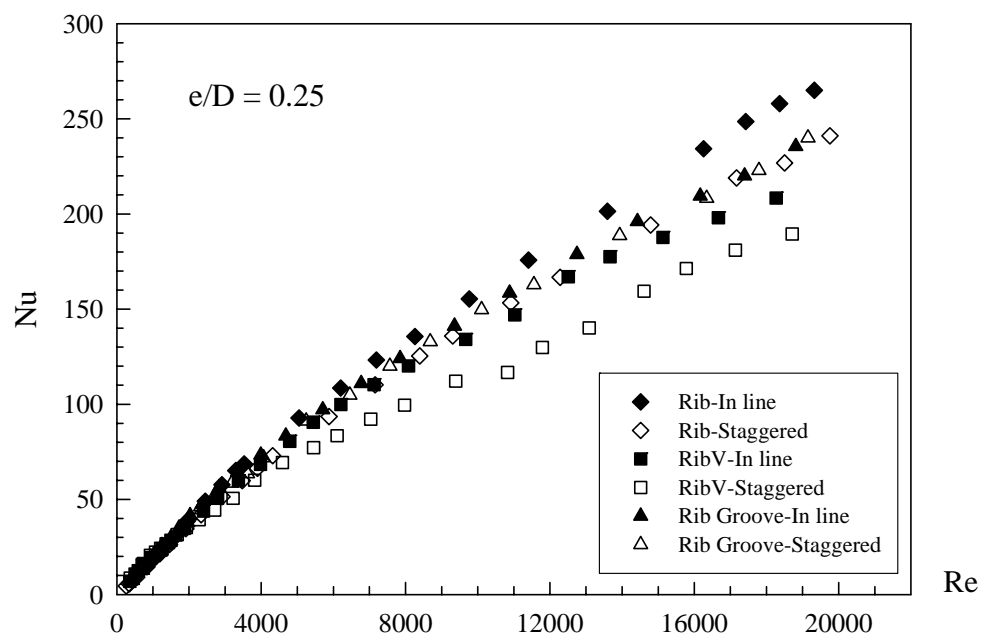
จากรูปที่ 6.19 แสดงการเปรียบเทียบค่าตัวเลขนัสเซิลท์ของช่องขนานที่มีครีประเภตต่างๆ ที่สัดส่วน e/D เท่ากับ 0.25 พบว่าที่อัตราการไหลที่มีความปั่นป่วนไม่มากนักหรือค่า Re ต่ำกว่า 3,000 ค่า Nu ของช่องขนานที่มีครีทุกประเภตจะมีค่าใกล้เคียงกัน แต่เมื่อการไหลมีความปั่นป่วนมากยิ่งขึ้น ช่องขนานที่มีครีตรงจะมีการเพิ่มขึ้นของค่า Nu มากที่สุด ตามมาด้วยช่องขนานที่มีครีและร่องตรง ส่วนช่องขนานครีรูปตัววี จะมีอัตราส่วนการเพิ่มขึ้นน้อยกว่าครีทั้งสองประเภต โดยเฉพาะครีรูปตัววี ที่มีจัดวางแบบแนวครีเอียงซึ่งจะการเพิ่มขึ้นน้อยที่สุด ดังแสดงในรูปที่ 6.19

6.6.3 ค่าตัวเลขนัสเซิลท์ ที่สัดส่วน e/D เท่ากับ 0.33

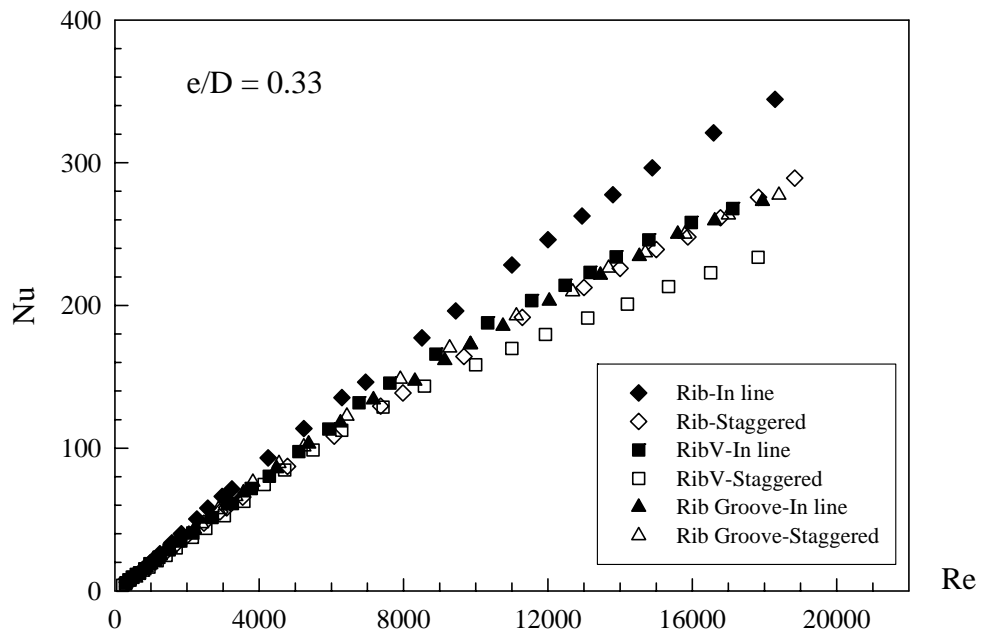
จากรูปที่ 6.20 แสดงการเปรียบเทียบค่าตัวเลขนัสเซิลท์ของช่องขนานที่มีครีประเภตต่างๆ ที่สัดส่วน e/D เท่ากับ 0.33 พบว่าที่อัตราการไหลที่มีความปั่นป่วนไม่มากนักหรือค่าตัวเลขเรย์โนลด์ต่ำกว่า 2,000 ค่า Nu ของช่องขนานที่มีครีทุกประเภตจะมีค่าใกล้เคียงกัน แต่เมื่อการไหลมีความปั่นป่วนมากยิ่งขึ้น ช่องขนานที่มีครีตรง ที่จัดวางแบบแนวครีตรง จะมีอัตราการเพิ่มขึ้นของค่า Nu มากที่สุด ส่วนช่องขนานที่มีครีรูปตัววี จัดวางแบบแนวครีเอียงจะมีอัตราส่วนการเพิ่มขึ้นของค่า Nu น้อยที่สุด ดังแสดงในรูปที่ 6.20



รูปที่ 6.18 แสดงการเปรียบเทียบค่าตัวเลขนำความร้อนของช่องขนานมีครีบริบประเภทต่างๆ ที่สัดส่วน e/D เท่ากับ 0.20



รูปที่ 6.19 แสดงการเปรียบเทียบค่าตัวเลขนำความร้อนของช่องขนานมีครีบริบประเภทต่างๆ ที่สัดส่วน e/D เท่ากับ 0.25



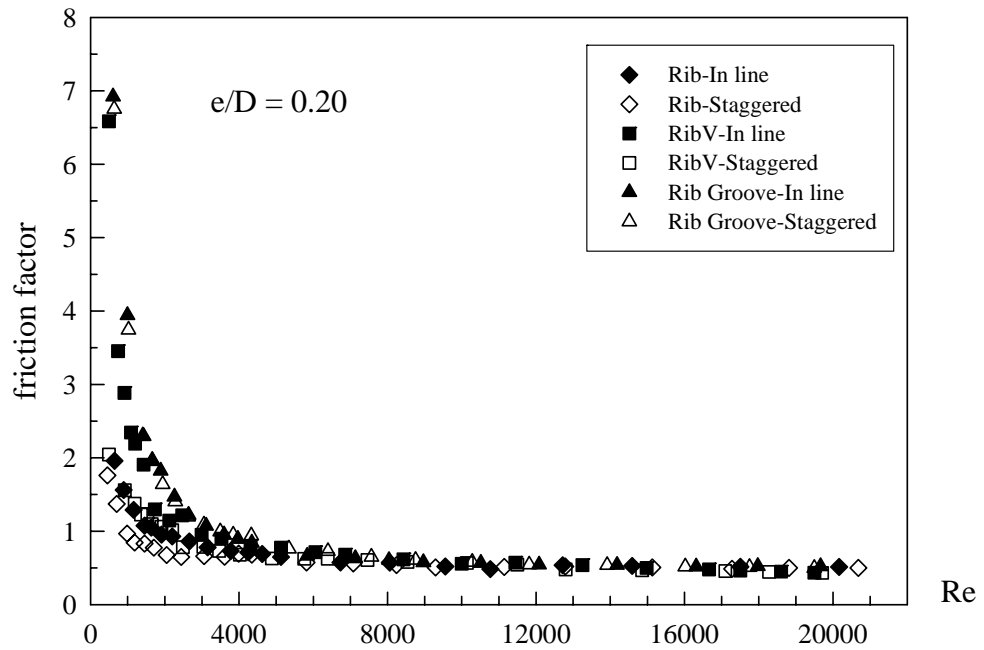
รูปที่ 6.20 แสดงการเปรียบเทียบค่าตัวเลขนัสเซิลท์ของช่องขนานมีครีบริบประเภทต่างๆ ที่สัดส่วน e/D เท่ากับ 0.33

6.6.4 ค่าตัวประกอบเสียดทาน ที่สัดส่วน e/D เท่ากับ 0.20

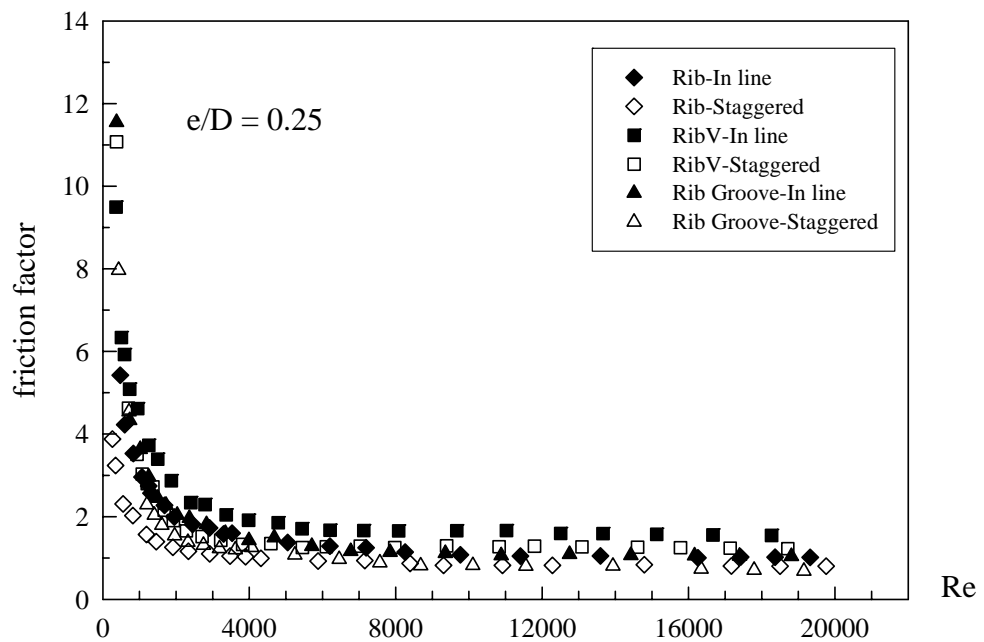
จากรูปที่ 6.21 แสดงการเปรียบเทียบค่าตัวประกอบเสียดทานของช่องขนานมีครีบริบประเภทต่างๆ ที่สัดส่วน e/D เท่ากับ 0.20 พบว่า ค่า f ในช่วงที่มีการไหลปั่นป่วนไม่มากนัก หรือมีค่า Re ต่ำกว่า 4,000 จะมีความแตกต่างกันค่อนข้างของค่า f ในแต่ละประเภท โดยช่องขนานที่มีครีบริบและร่องตรง จะมีค่า f มากที่สุดใกล้เคียงกับช่องขนานที่มีครีบริบรูปตัววี จัดวางแบบแนวครีบริบตรง ส่วนช่องขนานที่มีครีบริบตรง จัดวางแบบแนวครีบริบเฉียงจะมีค่า f ต่ำที่สุด ในช่วงการไหลปั่นป่วนไม่มาก แต่เมื่ออัตราการไหลที่มีความปั่นป่วนมากขึ้น หรือในช่วงตัวเลขเรย์โนลด์มากกว่า 4,000 ช่องขนานมีครีบริบทุกประเภทจะมีค่า f ที่ค่อนข้างใกล้เคียงกัน ดังแสดงในรูปที่ 6.21

6.6.5 ค่าตัวประกอบเสียดทาน ที่สัดส่วน e/D เท่ากับ 0.25

จากรูปที่ 6.22 แสดงการเปรียบเทียบค่าตัวประกอบเสียดทานของช่องขนานมีครีบริบประเภทต่างๆ ที่สัดส่วน e/D เท่ากับ 0.25 พบว่าช่องขนานที่มีครีบริบรูปตัววี จัดวางแบบแนวครีบริบตรง จะให้ค่า f มากที่สุดเมื่อเทียบกับช่องขนานที่มีครีบริบประเภทอื่นๆ โดยช่องขนานที่มีครีบริบและร่องตรง จัดวางแบบแนวครีบริบเฉียงจะให้ผลของค่า f ต่ำที่สุด และในช่วงอัตราค่า Re ที่สูงขึ้นก็จะมีค่าแตกต่างกันของค่า f ซึ่งแตกต่างจากผลที่ได้เมื่อสัดส่วน e/D เท่ากับ 0.25 ดังแสดงในรูปที่ 6.22



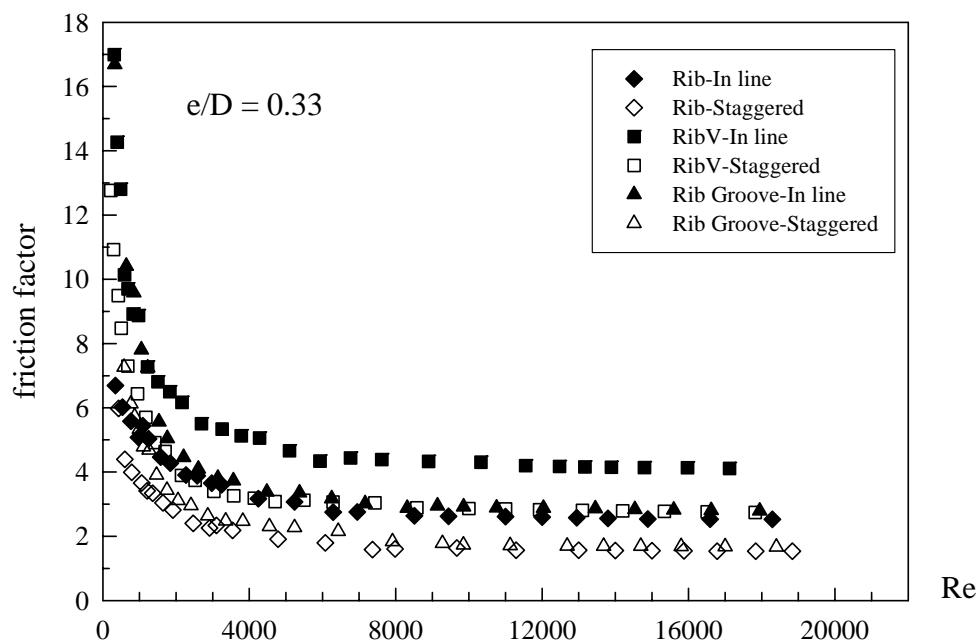
รูปที่ 6.21 แสดงการเปรียบเทียบค่าตัวประกอบเสียดทานของช่องขนานมีครีบริบประเภทต่างๆ ที่สัดส่วน e/D เท่ากับ 0.20



รูปที่ 6.22 แสดงการเปรียบเทียบค่าตัวประกอบเสียดทานของช่องขนานมีครีบริบประเภทต่างๆ ที่สัดส่วน e/D เท่ากับ 0.25

6.6.6 ค่าตัวประกอบเสียดทาน ที่สัดส่วน e/D เท่ากับ 0.33

จากรูปที่ 6.23 แสดงการเปรียบเทียบค่าตัวประกอบเสียดทานของช่องขนานมีครีบริบประเภทต่างๆ ที่สัดส่วน e/D เท่ากับ 0.33 พบว่าช่องขนานที่มีครีบริบรูปตัววี จัดวางแบบแนวครีบริบตรง จะให้ตัวประกอบเสียดทานสูงที่สุดเมื่อเทียบกับช่องขนานประเภทอื่นๆ โดยช่องขนานที่มีครีบริบและร่องตรง จัดวางแบบแนวครีบริบเอียงจะให้ผลของค่า f ต่ำที่สุด ในช่วงอัตราค่า Re ที่สูงขึ้นก็จะมีค่าแตกต่างกันของค่า f ในแต่ละประเภทของครีบริบมากขึ้น ซึ่งแตกต่างจากผลที่ได้เมื่อสัดส่วน e/D เท่ากับ 0.33 ดังแสดงในรูปที่ 6.23



รูปที่ 6.23 แสดงการเปรียบเทียบค่าตัวประกอบเสียดทานของช่องขนานมีครีบริบประเภทต่างๆ ที่สัดส่วน e/D เท่ากับ 0.33

6.7 ผลการเปรียบเทียบค่าสูง-ต่ำสุดของช่องขนานประเภทต่างๆ

6.7.1 ผลเปรียบเทียบค่าตัวเลขนัสเซิลท์สูง-ต่ำสุดของช่องขนานที่มีครีบริบแต่ละประเภท

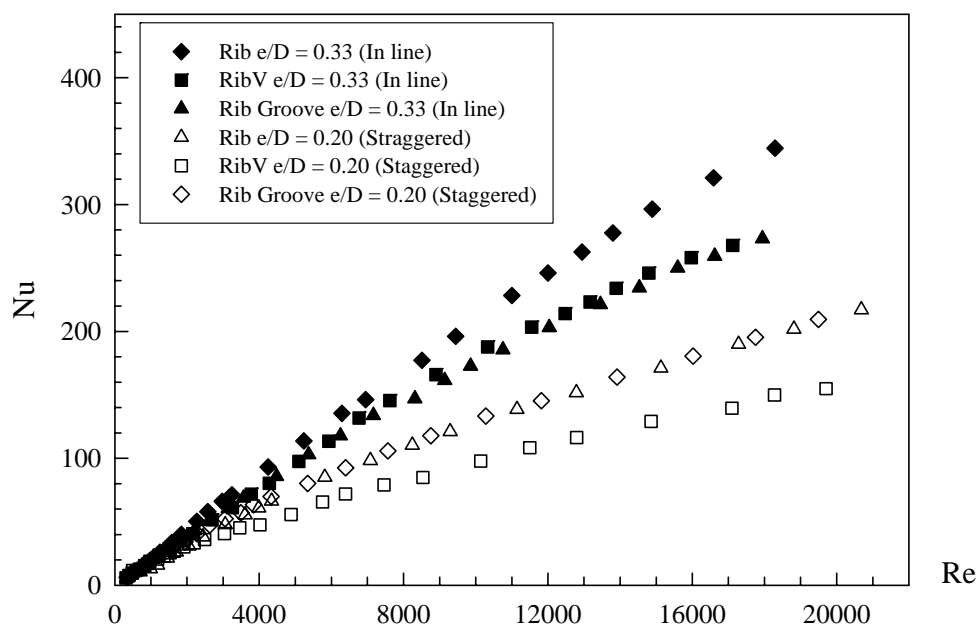
จากการเปรียบเทียบผลของค่าตัวเลขนัสเซิลท์สูงสุดของช่องขนานแต่ละประเภทพบว่าช่องขนานที่มีครีบริบตรง ที่สัดส่วน e/D เท่ากับ 0.33 จะมีแนวโน้มการเพิ่มขึ้นมากกว่าช่องขนานครีบริบตัววี ส่วนช่องขนานที่มีครีบริบรูปตัววี ที่สัดส่วน e/D เท่ากับ 0.20 จะให้ค่า Nu ที่ต่ำที่สุดเมื่อเทียบกับช่องขนานมีครีบริบประเภทอื่นๆ ดังแสดงในรูปที่ 6.24

6.7.2 ผลเปรียบเทียบค่าตัวเลขนัสเซิลท์สูง-ต่ำสุดของช่องขนานที่มีครีบนแต่ละประเภทเทียบกับช่องขนานแผ่นเรียบ

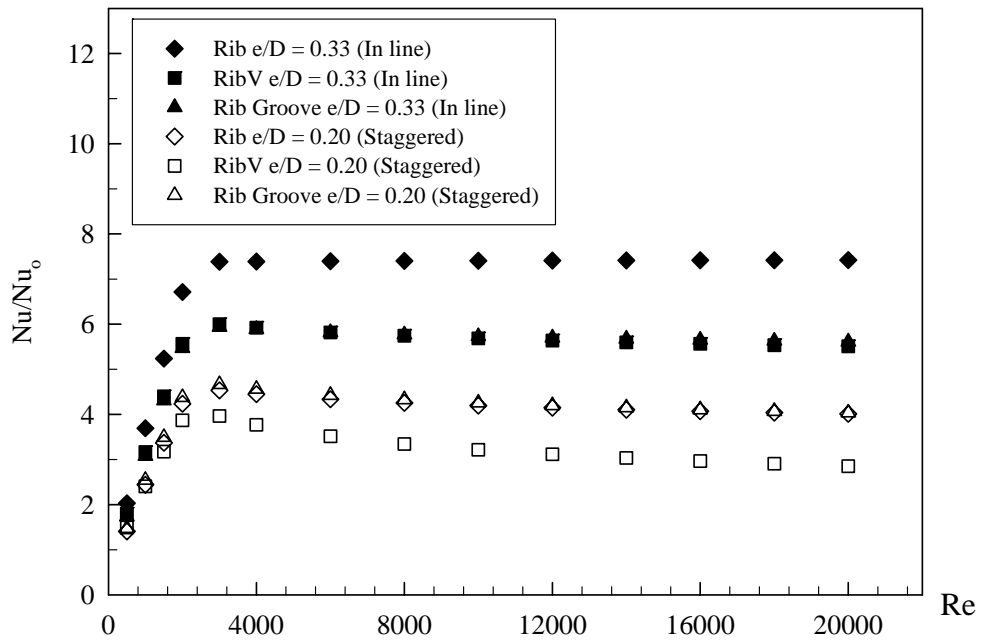
จากการเปรียบเทียบผลของค่าตัวเลขนัสเซิลท์สูงสุดของช่องขนานที่มีครีบนแต่ละประเภทเทียบกับช่องขนานผิวเรียบ พบว่าช่องขนานที่มีครีบนตรงจะมีค่าสูงที่สุด เมื่อเทียบกับช่องขนานมีครีบนประเภทอื่น ส่วนช่องขนานที่มีครีบนรูปตัววี ที่สัดส่วน e/D เท่ากับ 0.20 จะให้ค่า Nu/Nu_0 ที่ต่ำที่สุด เมื่อเทียบกับช่องขนานมีครีบนประเภทอื่นๆ ดังแสดงในรูปที่ 6.25

6.7.3 ผลเปรียบเทียบค่าตัวประกอบเสียดทานสูง-ต่ำสุดของช่องขนานที่มีครีบนแต่ละประเภท

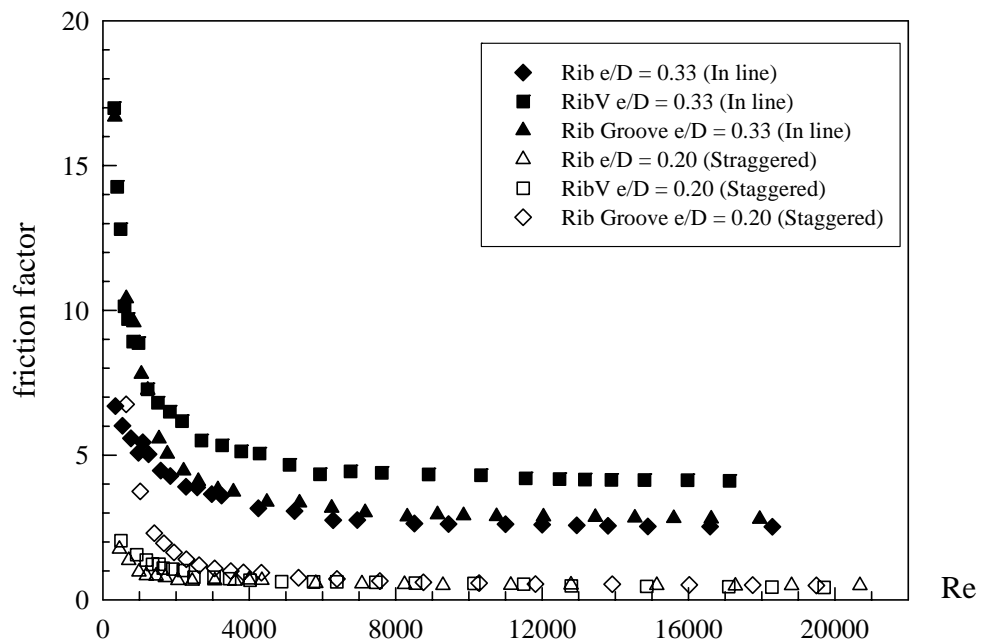
จากการเปรียบเทียบผลของค่าตัวประกอบเสียดทานสูงสุดของช่องขนานแต่ละประเภทพบว่าช่องขนานที่มีครีบนรูปตัววี และสัดส่วน e/D เท่ากับ 0.33 จัดวางแบบครีบนตรงจะมีค่าสูงที่สุด ส่วนช่องขนานที่มีครีบนและร่องตรง จะมีค่าต่ำที่สุดใกล้เคียงกับช่องขนานที่มีครีบนตรง ยกเว้นช่วงการไหลแบบที่มีความปั่นป่วนไม่มากนัก ที่ช่องขนานที่มีครีบนและร่องตรง จะมีค่าสูงกว่า ช่องขนานที่มีครีบนตรง สำหรับค่าตัวประกอบเสียดทานต่ำสุดของช่องขนานแต่ละประเภทพบว่าช่องขนานที่มีครีบนตรง ที่จัดวางแบบครีบนเอียง และสัดส่วน e/D เท่ากับ 0.20 จะให้แนวโน้มของค่า f ต่ำที่สุด และช่องขนานทุกประเภทจะมีค่าใกล้เคียงกันเมื่ออัตราการไหลมีความปั่นป่วนมากขึ้น ดังแสดงในรูปที่ 6.26



รูปที่ 6.24 แสดงผลเปรียบเทียบค่าตัวเลขนัสเซิลท์สูง-ต่ำสุดของช่องขนานที่มีครีบนแต่ละประเภท



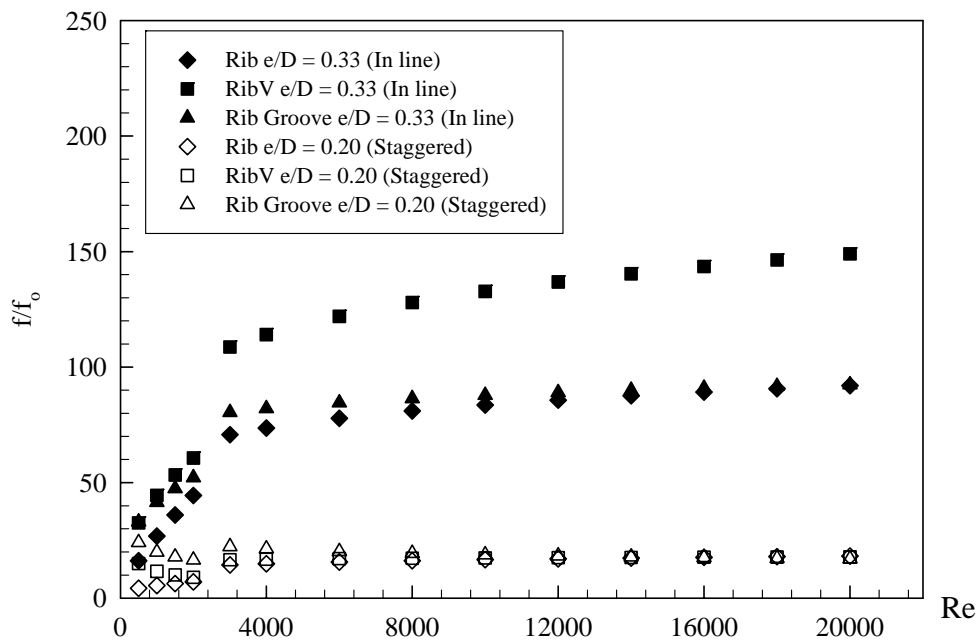
รูปที่ 6.25 แสดงผลเปรียบเทียบค่าตัวเลขนัสเซลที่สูง-ต่ำสุดของช่องขนานที่มีครีบนับแต่ละประเภท เทียบกับช่องขนานแผ่นเรียบ



รูปที่ 6.26 แสดงผลเปรียบเทียบค่าตัวประกอบเสียดทานสูง-ต่ำสุดของช่องขนานที่มีครีบนับแต่ละประเภท

6.7.4 ผลเปรียบเทียบค่าตัวประกอบเสียดทานสูง-ต่ำสุดของช่องขนานที่มีครีบบนแต่ละประเภท เทียบกับช่องขนานแผ่นเรียบ

จากการเปรียบเทียบผลของค่าตัวประกอบเสียดทานสูงสุดของช่องขนานที่มีครีบบนแต่ละประเภท สูงสุดเทียบกับช่องขนานแผ่นเรียบพบว่าช่องขนานที่มีครีบบนรูปตัววี สัดส่วน e/D เท่ากับ 0.33 จัควางแบบแนวครีบบนตรงจะมีค่าสูงที่สุด เมื่อเทียบกับช่องขนานมีครีบบนประเภทอื่น ส่วนค่า f/f_0 ต่ำสุดของช่องขนานที่มีครีบบนตรง ครีบบนตัววี และครีบบนและร่องตรง จะมีค่าค่อนข้างใกล้เคียงกัน ดังแสดงในรูปที่ 6.27

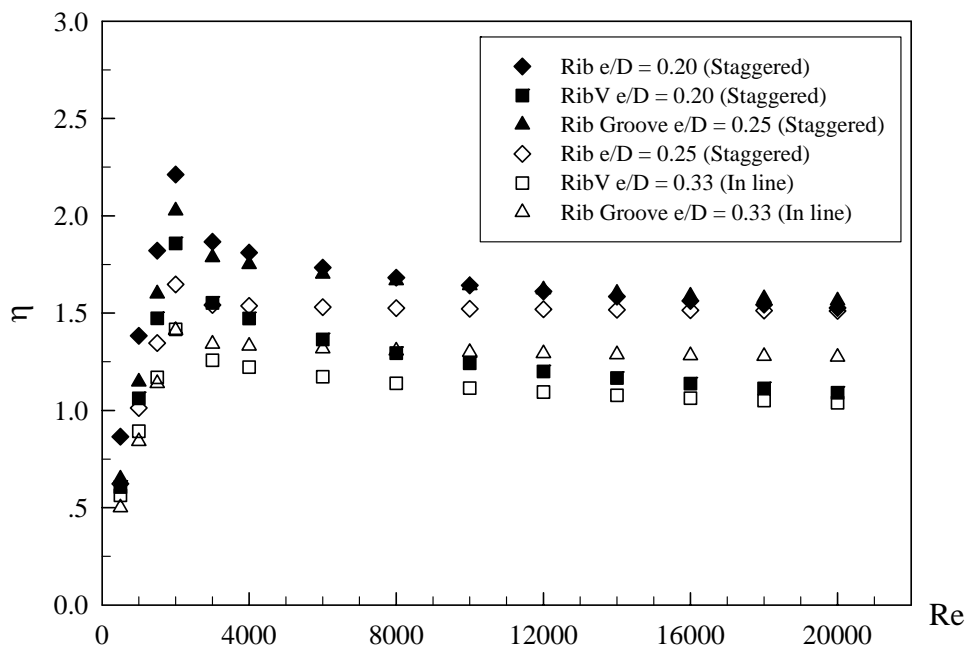


รูปที่ 6.27 แสดงผลเปรียบเทียบค่าตัวประกอบเสียดทานสูงและต่ำสุดของช่องขนานที่มีครีบบนแต่ละประเภทเทียบกับช่องขนานแผ่นเรียบ

6.7.5 ผลเปรียบเทียบค่าประสิทธิภาพการเพิ่มสมรรถนะการถ่ายเทความร้อนสูง-ต่ำสุดของช่องขนานมีครีบบนแต่ละประเภท

จากการเปรียบเทียบผลของค่าประสิทธิภาพการเพิ่มสมรรถนะการถ่ายเทความร้อนสูงสุดของช่องขนานที่มีครีบบนแต่ละประเภทพบว่าช่องขนานที่มีครีบบนตรงที่สัดส่วน e/D เท่ากับ 0.20 จะมีค่าประสิทธิภาพสูงสุดคือเท่ากับ 2.21 โดยมีค่าสูงสุดในช่วงค่า Re เท่ากับ 2,000 เมื่อเทียบกับช่องขนานมีครีบบนประเภทอื่น และมีค่าเฉลี่ยสูงสุดเช่นเดียวกันเท่ากับ 1.63 แต่เมื่อค่าตัวเลข Re มีค่ามากกว่า 10,000 พบว่าช่องขนานที่มีครีบบนและร่องตรง จัควางแบบแนวร่องเอียง ที่สัดส่วน e/D เท่ากับ 0.25 จะมีแนวโน้มของค่า η มากกว่าช่องขนานประเภทอื่น ส่วนช่องขนานที่มีครีบบนตัววี จัด

วางแบบแนวครีบริบตรงที่สัดส่วน e/D เท่ากับ 0.33 จะมีค่าเฉลี่ยต่ำสุดคือเท่ากับ 1.09 ดังแสดงในรูปที่ 6.28



รูปที่ 6.28 แสดงการเปรียบเทียบค่าประสิทธิภาพการเพิ่มสมรรถนะการถ่ายเทความร้อนสูง-ต่ำสุดของช่องขนานที่มีครีบริบประเภทต่างๆ

6.8 ค่าความสัมพันธ์ของตัวเลขนัสเซิลท์

จากการทดลองที่กล่าวมาในข้างต้นพบว่า ค่าตัวเลขนัสเซิลท์ (Nu) นั้นจะมีความสัมพันธ์กับค่าตัวเลขเรย์โนลด์ (Re) และระยะความสูงครีบริบต่อระยะห่างช่องขนาน (e/D) ซึ่งสามารถหาค่าความสัมพันธ์เหล่านี้ได้ดังนี้

การจัดวางแบบครีบริบตรง

$$\text{ครีบริบตรง} \quad Nu = 0.3617 (Re^{0.8263})(e/D)^{1.0971}$$

$$\text{ครีบริบรูปตัววี} \quad Nu = 0.6323 (Re^{0.7381})(e/D)^{1.0811}$$

$$\text{ครีบริบตรง-ร่องตรง} \quad Nu = 0.2150 (Re^{0.7943})(e/D)^{0.5803}$$

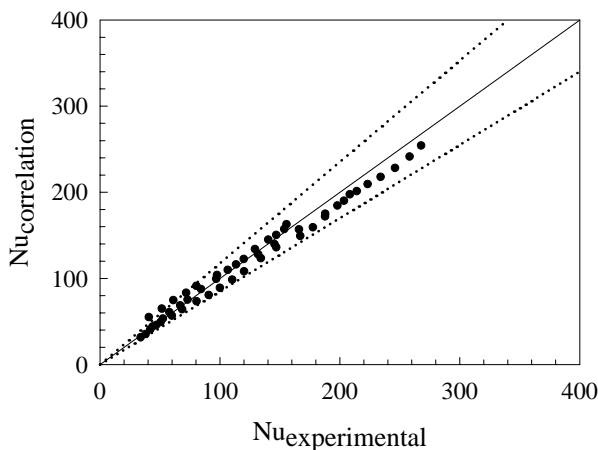
การจัดวางแบบครีบริบเอียง

$$\text{ครีบริบตรง} \quad Nu = 0.1583 (Re^{0.8237})(e/D)^{0.5731}$$

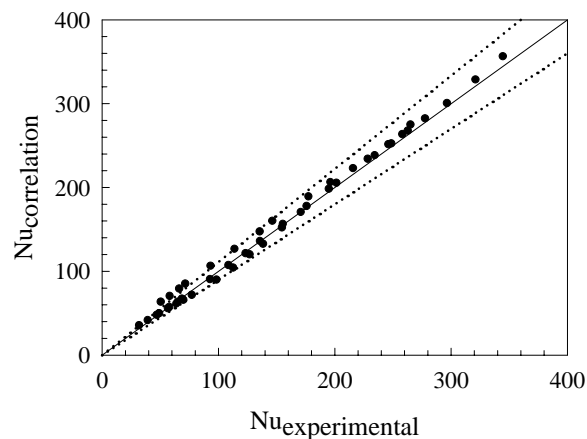
$$\text{ครีบริบรูปตัววี} \quad Nu = 0.5310 (Re^{0.7180})(e/D)^{0.8852}$$

$$\text{ครีบริบตรง-ร่องตรง} \quad Nu = 0.2150 (Re^{0.7943})(e/D)^{0.5803}$$

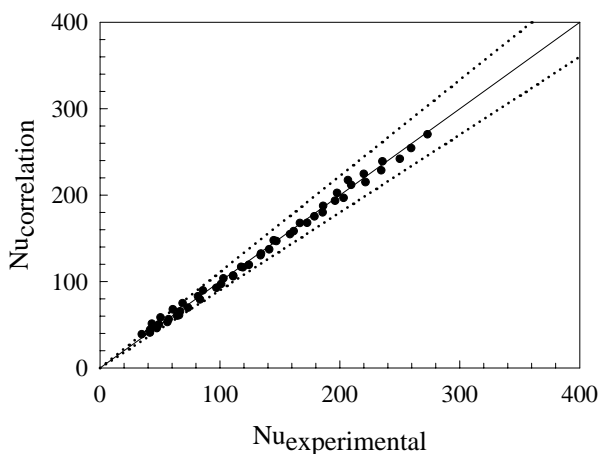
โดยมีขอบเขตเงื่อนไขครอบคลุมช่วงตัวเลขเรย์โนลด์ 2,000 – 20,000 โดยความคาดเคลื่อนของสมการดังกล่าวมีค่าอยู่ในช่วง $\pm 10\%$ ซึ่งสามารถเปรียบเทียบที่ได้จากสมการความสัมพันธ์และค่าจากการทดลองดังรูปที่ 6.29 ถึง 6.34



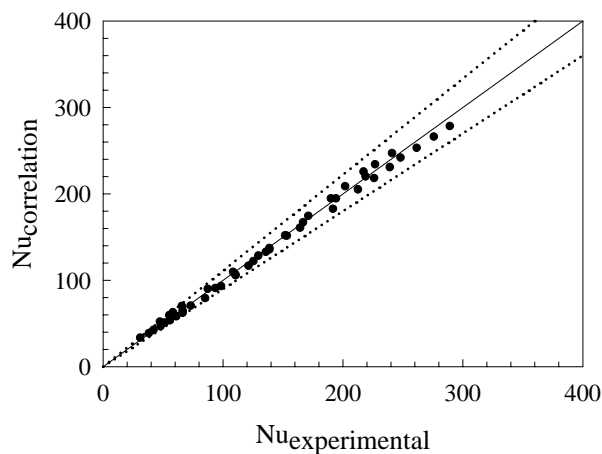
รูปที่ 6.29 เปรียบเทียบค่าตัวเลขนัสเซลท์ที่ได้จากการทดลองและค่าที่ได้จากสมการความสัมพันธ์ของช่องขนานที่มีครีบริบตรง การจัดวางแบบครีบริบตรง



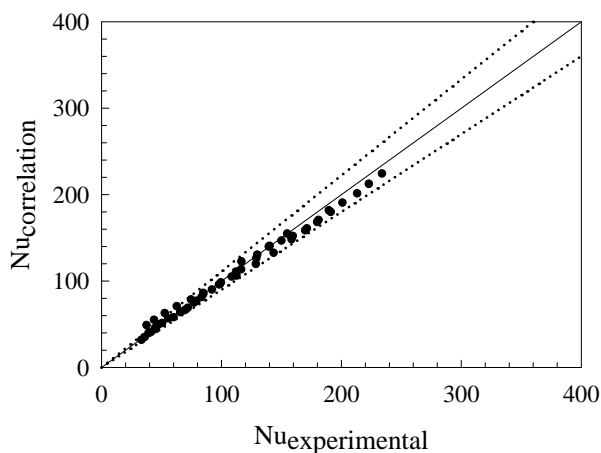
รูปที่ 6.30 เปรียบเทียบค่าตัวเลขนัสเซลท์ที่ได้จากการทดลองและค่าที่ได้จากสมการความสัมพันธ์ของช่องขนานที่มีครีบริบตัววี การจัดวางแบบครีบริบตรง



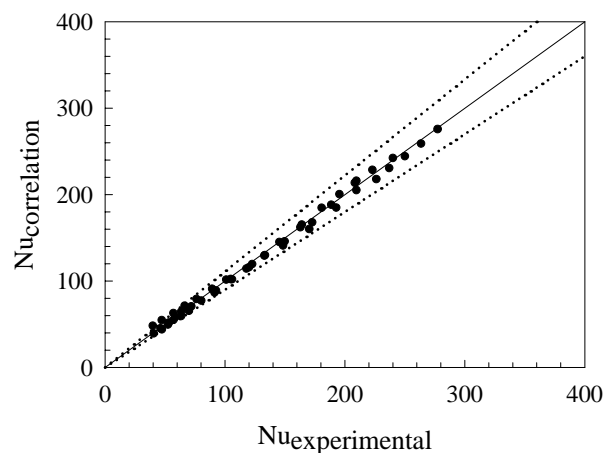
รูปที่ 6.31 เปรียบเทียบค่าตัวเลขนัสเซลท์ที่ได้จากการทดลองและค่าที่ได้จากสมการความสัมพันธ์ของช่องขนานที่มีครีบริบและร่องตรง การจัดวางแบบครีบริบตรง



รูปที่ 6.32 เปรียบเทียบค่าตัวเลขนัสเซลท์ที่ได้จากการทดลองและค่าที่ได้จากสมการความสัมพันธ์ของช่องขนานที่มีครีบริบตรง การจัดวางแบบแนวครีบริบเฉียง



รูปที่ 6.33 เปรียบเทียบค่าตัวเลขนัสเซิลท์ที่ได้จากการทดลองและค่าที่ได้จากสมการความสัมพันธ์ของช่องขนานที่มีครีบริบตัววีการจัดวางแบบแนวครีบริบเฉียง



รูปที่ 6.34 เปรียบเทียบค่าตัวเลขนัสเซิลท์ที่ได้จากการทดลองและค่าที่ได้จากสมการความสัมพันธ์ของช่องขนานที่มีครีบริบและร่องตรงตรง การจัดวางแบบแนวครีบริบเฉียง

6.9 ค่าความสัมพันธ์ของตัวประกอบเสียดทาน

จากการทดลองที่กล่าวมาในข้างต้นพบว่า ค่าตัวประกอบเสียดทาน (friction factor; f) นั้น จะมีความสัมพันธ์กับค่าตัวเลขเรย์โนลด์ (Re) และระยะความสูงครีบริบต่อระยะห่างช่องขนาน (e/D) ซึ่งสามารถหาค่าความสัมพันธ์เหล่านี้ได้ดังนี้

การจัดวางแบบครีบริบตรง

$$\text{ครีบริบตรง} \quad f = 1,204.59 (Re^{-0.2840})(e/D)^{3.1422}$$

$$\text{ครีบริบรูปตัววี} \quad f = 4,548.87 (Re^{-0.2791})(e/D)^{3.9310}$$

$$\text{ครีบริบตรง-ร่องตรง} \quad f = 2,987.39 (Re^{-0.3688})(e/D)^{3.1998}$$

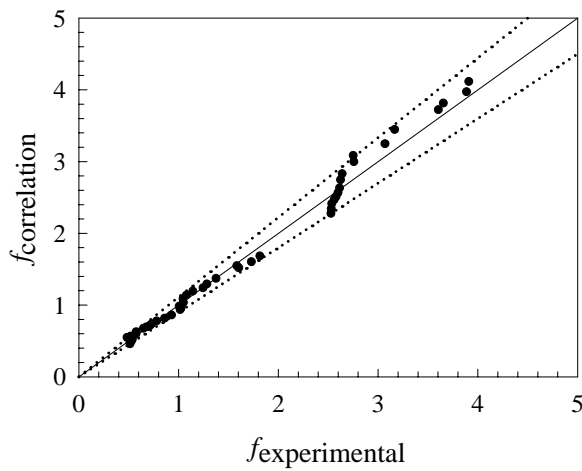
การจัดวางแบบครีบริบเฉียง

$$\text{ครีบริบตรง} \quad f = 123.72 (Re^{-0.1956})(e/D)^{2.2643}$$

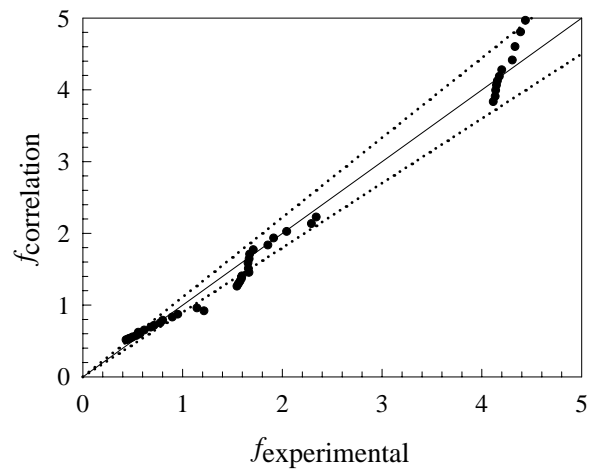
$$\text{ครีบริบรูปตัววี} \quad f = 743.01 (Re^{-0.2106})(e/D)^{3.2380}$$

$$\text{ครีบริบตรง-ร่องตรง} \quad f = 735.24 (Re^{-0.3892})(e/D)^{2.2184}$$

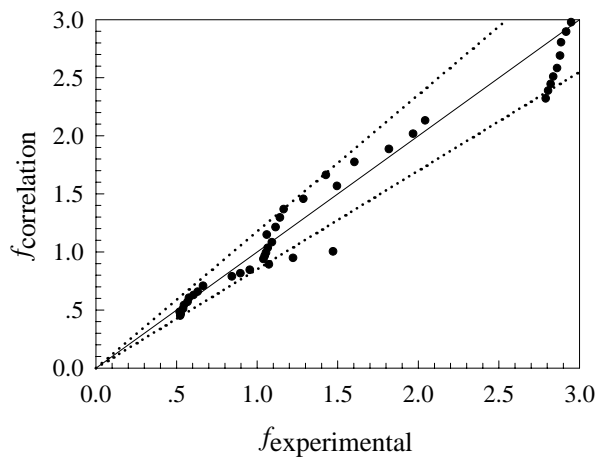
โดยมีขอบเขตเงื่อนไขครอบคลุมช่วงตัวเลขเรย์โนลด์ 2,000 – 20,000 โดยความคลาดเคลื่อนของสมการดังกล่าวมีค่าอยู่ในช่วง +/- 10% และ 15% สำหรับกรณีอัตราส่วน e/D เท่ากับ 0.20 ซึ่งสามารถเปรียบเทียบที่ได้จากสมการความสัมพันธ์และค่าจากการทดลองดังรูปที่ 6.35 ถึง 6.40



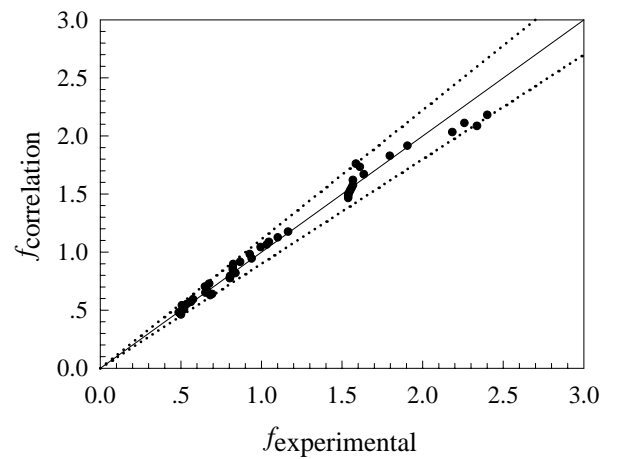
รูปที่ 6.35 เปรียบเทียบตัวประกอบเสียดทานที่ได้จากการทดลองและค่าที่ได้จากสมการความสัมพันธ์ของช่องขนานที่มีครีบริบตรง การจัดวางแบบครีบริบตรง



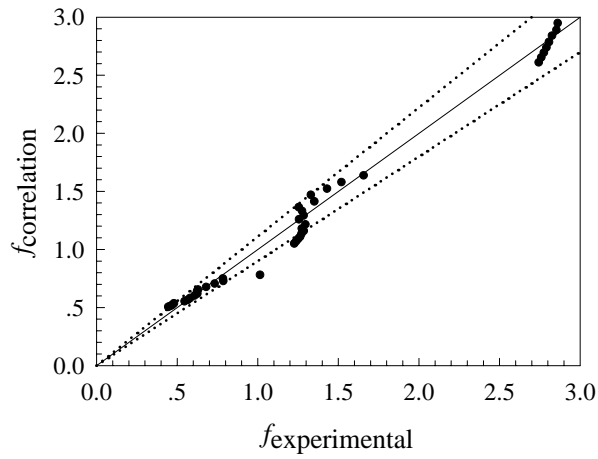
รูปที่ 6.36 เปรียบเทียบตัวประกอบเสียดทานที่ได้จากการทดลองและค่าที่ได้จากสมการความสัมพันธ์ของช่องขนานที่มีครีบริบตัววี การจัดวางแบบครีบริบตรง



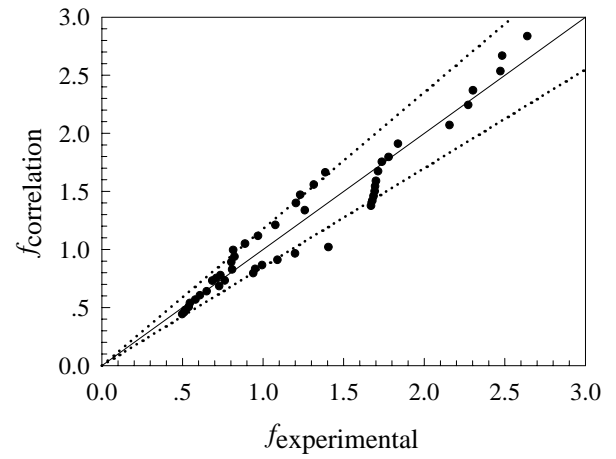
รูปที่ 6.37 เปรียบเทียบตัวประกอบเสียดทานที่ได้จากการทดลองและค่าที่ได้จากสมการความสัมพันธ์ของช่องขนานที่มีครีบริบและร่องตรง การจัดวางแบบครีบริบตรง



รูปที่ 6.38 เปรียบเทียบตัวประกอบเสียดทานที่ได้จากการทดลองและค่าที่ได้จากสมการความสัมพันธ์ของช่องขนานที่มีครีบริบตรง การจัดวางแบบครีบริบเฉียง



รูปที่ 6.39 เปรียบเทียบตัวประกอบเสียดทานที่ได้จากการทดลองและค่าที่ได้จากสมการความสัมพันธ์ของช่องขนานที่มีครีบริบตัววีการจัดวางแบบครีบริบเฉียง



รูปที่ 6.40 เปรียบเทียบตัวประกอบเสียดทานที่ได้จากการทดลองและค่าที่ได้จากสมการความสัมพันธ์ของช่องขนานที่มีครีบริบและร่องตรง การจัดวางแบบครีบริบเฉียง